

บทที่ 1

ดวงอาทิตย์และการแพร่รังสีที่โลก

ในบทนี้จะกล่าวถึงเรื่องรวมเบื้องต้นทั่วไปเกี่ยวกับแหล่งกำเนิดของพลังงานที่โลกได้รับคือดวงอาทิตย์ จากนั้นจะศึกษาถึงประมาณรังสีที่โลกได้รับในลักษณะต่าง ๆ

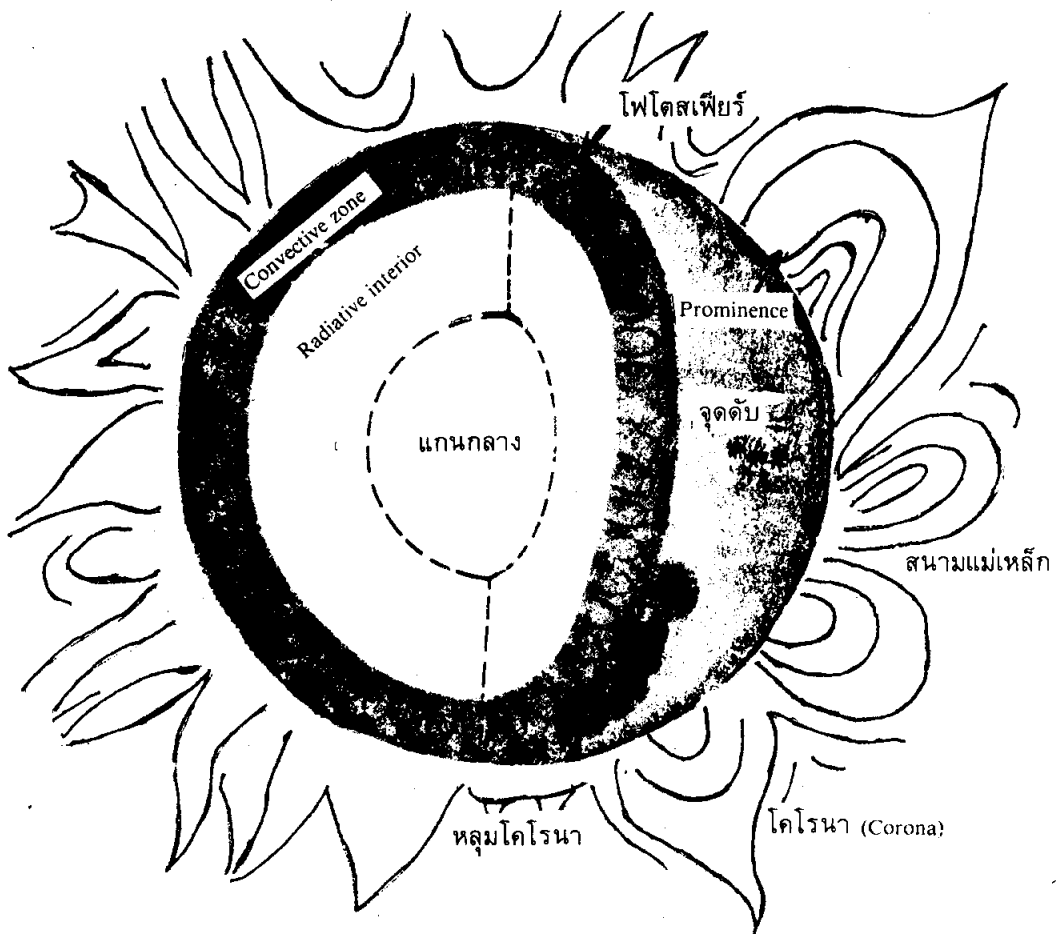
1.1 การแพร่รังสีของดวงอาทิตย์กับบรรยากาศโลก

(Extraterrestrial solar radiation)

เริ่มต้นจะศึกษาโครงสร้างของดวงอาทิตย์ การแพร่รังสีก่อนเข้าสู่บรรยากาศโลก จากนั้นจะกล่าวถึงบรรยากาศโลกมีผลต่อการแพร่รังสีอย่างไร เราจะพิจารณารังสีในช่วงต่อไปนี้เป็นสำคัญคือรังสีในช่วงความยาวคลื่นตั้งแต่ $0.3 \text{ } \mu\text{m}$ ถึง $3.0 \text{ } \mu\text{m}$ ($1 \mu = 10^{-6} = \text{micro}$) ซึ่งเป็นส่วนของสเปกตรัม (spectrum) ส่วนใหญ่ที่เกิดจากการแพร่รังสีจากดวงอาทิตย์.

1.1.1 ดวงอาทิตย์

มีลักษณะทรงกลมแบนไปด้วยมวลที่เป็นก๊าซมีเส้นผ่าศูนย์กลางประมาณ 1.39×10^6 กิโลเมตร ระยะทางเฉลี่ยจากโลก 1.5×10^8 กิโลเมตร ถ้ามองจากโลกจะเห็นดวงอาทิตย์หมุนรอบแกนของมันหนึ่งครั้งในสี่สัปดาห์ แต่อย่างไรก็ตามมันไม่หมุนอย่างแข็งบrijewen อีกเดียวจะใช้เวลาประมาณ 27 วัน ที่ข้ามของมันประมาณ 30 วัน



รูปที่ i-1 โครงสร้างของดวงอาทิตย์

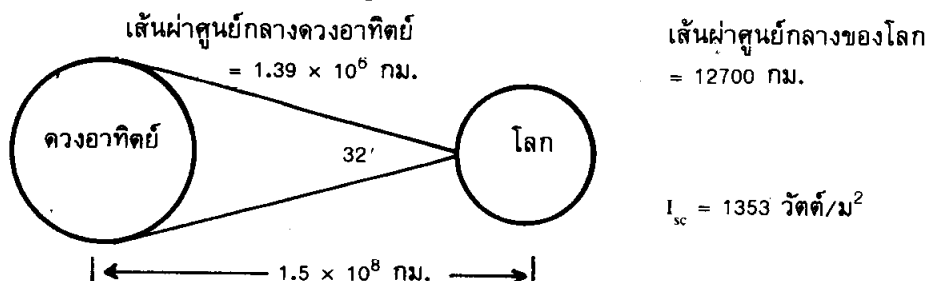
ที่ผู้ดวงอาทิตย์มีอุณหภูมิประมาณ 5762 K (effective temperature) ซึ่งเราจะถือเป็น อุณหภูมิที่ดวงอาทิตย์แผ่รังสีออกมานៅบนราษฎร์โลก อุณหภูมิภายในมีการประมาณ ว่าอยู่ระหว่าง 8×10^6 ถึง $40 \times 10^6\text{ K}$ ความหนาแน่นประมาณ 80 ถึง 100 เท่าของน้ำ ดวงอาทิตย์ทำตัวคล้ายเครื่องปฏิกรณ์นิวเคลียร์แบบพิวชัน (fusion reactor) อย่างต่อเนื่อง ก้าช้อดรวมกันอยู่โดยแรงโน้มถ่วง พลังงานความร้อนที่แผ่ออกมาเกิดจากการรวมกันทางนิวเคลียร์ของก้าช้อไฮโดรเจนเป็นฮีเลียม (สี่ proton รวมตัวเป็นหนึ่งนิวเคลียสฮีเลียม) มวลของนิว

เคลียสซีเลี่ยมน้อยกว่ามวลของprotoonทั้งสี่ มวลที่เหลือจึงกล้ายเป็นพลังงานความร้อน ดังกล่าว การเกิดปรากฏการณ์ดังกล่าวเกิดภายในดวงอาทิตย์ที่อุณหภูมิหลายล้านองศา พลังงานที่เกิดจะเคลื่อนมาที่ผิวแล้วแผ่รังสีออกมากสู่อวกาศต่อเนื่องกันอยู่เรื่อยๆ ภายใน จริงๆ จะเกิดรังสีในย่านรังสีแกรมม่าและรังสีเอ็กซ์ สเปคตรัมของการแผ่รังสีจะเป็นพาก ความยาวคลื่นเพิ่มขึ้นเมื่ออุณหภูมิลดลงที่นอกแกนหรือใจกลางดวงอาทิตย์ออกมานั้น โครงสร้าง อย่างหยาบของดวงอาทิตย์ให้คูณปีที่ 1-1

ดังได้กล่าวแล้วว่าแต่ละส่วนของดวงอาทิตย์มีความหนาแน่นและอุณหภูมิไม่เท่า กัน ที่บริเวณแกนกลางจะมีความหนาแน่นมากที่สุดและอุณหภูมิสูงสุด มีมวลประมาณ 40% ปริมาตรประมาณ 15% ของดวงอาทิตย์ ที่ convective zone มีความหนาแน่นประมาณ 0.07 กรัมต่อสูตริกเมตร³ อุณหภูมิประมาณ 130,000 K และโคโรนา (corona) มีความหนาแน่นอย่างมากแต่อุณหภูมิประมาณ 10^6 K ในการคำนวณการแผ่รังสีจากดวงอาทิตย์เพื่อนำเอามาใช้ทางความร้อน (thermal process) ได้พิจารณา กันว่าให้ดวงอาทิตย์เป็น แหล่งกำเนิดรังสีของวัตถุดำ (black body) ที่มีอุณหภูมิประมาณ 5762 K ซึ่งเป็นอุณหภูมิ ที่ประมาณว่าเกิดที่ผิวชี้งถือเป็นแหล่งกำเนิดการแผ่รังสีส่วนใหญ่ ถ้าต้องการทราบราย ละเอียดของดวงอาทิตย์มากกว่านี้ให้ศึกษาในหนังสือสารศาสตร์ทั่วไป

1.1.2 ค่าคงที่สุริยะ (The solar constant)

ระยะทางระหว่างโลกและดวงอาทิตย์มีค่าแตกต่างกันออกไปในการโครงการของโลกรอบดวงอาทิตย์ซึ่งเป็นวงรี ค่าแตกต่างจากค่าเฉลี่ยในช่วง $\pm 1.7\%$ และมุนร่องรับดวงอาทิตย์ที่ผิวโลกมีค่า 32 ลิปดา ดังรูปที่ 1-2

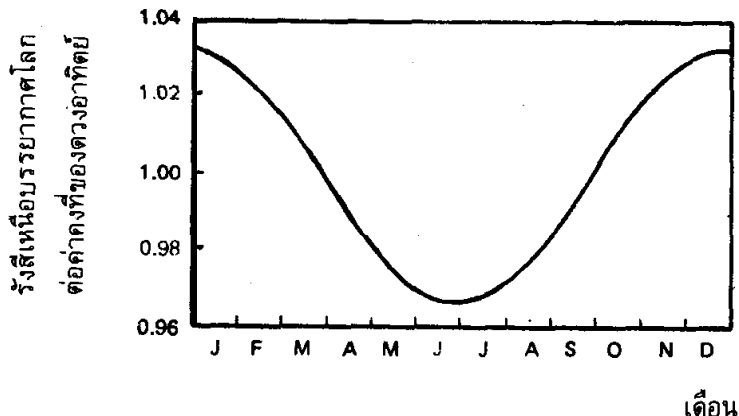


รูปที่ 1-2 ระยะทางจากโลกและดวงอาทิตย์และมุนที่มองจากผิวโลกดูดวงอาทิตย์

เนื่องจากระยะทางของโลกจากดวงอาทิตย์มีค่าแตกต่างกันแล้วก็อย่างดังกล่าวจึงทำให้ค่าพลังงานของดวงอาทิตย์ต่อพื้นที่ผิวที่รับต่อเวลาที่ระยะต่าง ๆ เหล่านี้แตกต่างไปจากค่าที่ได้ที่ตำแหน่งเฉลี่ยซึ่งเรียกว่าค่าคงที่สุริยะ (ซึ่งมีค่า $1.353 \text{ kW}/\text{m}^2$) ไปประมาณช่วง $\pm 1.6\%$ ดังตารางที่ 1.1 และรูปที่ 1-3 (จาก F. Kreith, 1978)

วัน	ระยะทางจากโลกไป ดวงอาทิตย์ต่อค่าเฉลี่ย	ปริมาณรังสี ต่อค่าคงที่สุริยะ	ปริมาณรังสี (kW/m^2)
Jan. 1	0.9832	1.034	1.399
Feb. 1	0.9853	1.030	1.394
Mar. 1	0.9908	1.019	1.379
Apr. 1	0.9993	1.001	1.354
May 1	1.0076	0.985	1.333
June 1	1.0141	0.972	1.312
July 1	1.0167	0.967	1.308
Aug. 1	1.0149	0.971	1.312
Sep. 1	1.0092	0.982	1.329
Oct. 1	1.0011	0.998	1.350
Nov. 1	0.9925	1.015	1.373
Dec. 1	0.9860	1.029	1.392

ตารางที่ 1-1 การเปลี่ยนแปลงตลอดปีของการแผ่รังสีจากดวงอาทิตย์ เนื่องจากระยะทาง
ระหว่างโลกและดวงอาทิตย์เปลี่ยนไป

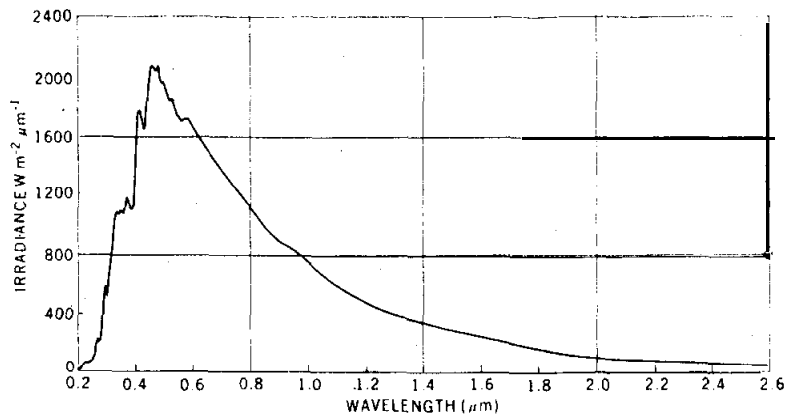


รูปที่ 1-3 ผลของช่วงเวลาในปีที่มีต่ออัตราส่วนของการแผ่รังสีเข้ามาบังโคลกต่อค่าคงที่สุริยะ.

1.1.3 การแจกแจงรังสีที่แผ่เหนือบรรยากาศโลก

(The spectral distribution of extraterrestrial radiation)

ค่าคงที่ของดวงอาทิตย์ที่กล่าวให้ข้างต้นนั้นหมายถึงการรวมพลังงานทั้งหมดทุกช่วงความยาวคลื่นในสเปกตรัมของการแผ่รังสีจากดวงอาทิตย์ (solar spectrum) ที่ระยะทางเฉลี่ยของโลกกับดวงอาทิตย์เหนือบรรยากาศโลก ในกรณีนี้ใช้มัจฉารณากล้องการแผ่รังสีในช่วงความยาวคลื่นต่าง ๆ ด้วย มีการหาเส้นโค้งมาตรฐานของการแผ่รังสีจากดวงอาทิตย์ที่ระยะทางเฉลี่ยของโลกและดวงอาทิตย์ เมื่อทำให้เส้นโค้งเรียบพื้นที่ใต้เส้นโค้งจะเป็นค่าคงที่สุริยะดังกล่าวคือ 1353 W/m^2 เส้นโค้งมาตรฐานดังกล่าวได้ทำโดย NASA (ค.ศ. 1971) ดังรูปที่ 1-4 น.



รูปที่ 1-4 ก. เส้นโค้งมาตรฐานแสดงการแผ่รังสีของความอาทิตย์ที่ระยะทางเฉลี่ยโลกและความ
อาทิตย์ให้ค่าคงที่ของความอาทิตย์ 1353 W/m^2

ค่าพลังงานเฉลี่ยของช่วงเล็ก ๆ ที่มีศูนย์กลางของความยาวคลื่นที่ λ ได ๆ และค่าพลังงาน
รวมสำหรับความยาวคลื่นที่น้อยกว่า λ ได ๆ จากเส้นโค้งมาตรฐานดังกล่าวให้ดูจากตาราง

1-2

ตารางที่ 1-2 การเผยแพร่องค์ความอาทิตย์เหนือบรรยากาศโลก

Solar Spectral Irradiance—Standard Curve^a

λ	E_λ	$E_{\text{O}-\lambda}$	$D_{\text{O}-\lambda}$	λ	E_λ	$E_{\text{O}-\lambda}$	$D_{\text{O}-\lambda}$	λ	E_λ	$E_{\text{O}-\lambda}$	$D_{\text{O}-\lambda}$
.115	.007	.0025	.0001	.510	1882	324.926	24.015	1.55	267	1186.109	87.665
.120	.900	.0048	.0003	.515	1833	334.214	24.701	1.60	245	1198.909	88.611
.125	.007	.0070	.0005	.520	1833	343.379	25.379	1.65	223	1210.609	89.475
.130	.007	.0071	.0005	.525	1852	352.591	26.059	1.70	202	1221.234	90.261
.140	.030	.0073	.0005	.530	1842	361.826	26.742	1.75	180	1230.784	90.967
.150	.070	.0078	.0005	.535	1818	370.976	27.418	1.80	159	1239.259	91.593
.160	.230	.0093	.0006	.540	1783	379.979	28.084	1.85	142	1246.784	92.149
.170	.630	.0136	.0010	.545	1754	388.821	28.737	1.90	126	1253.484	92.644
.180	1.250	.0230	.0016	.550	1725	397.519	29.330	1.95	114	1259.484	93.088
.190	2.710	.0428	.0031	.555	1720	406.131	30.017	2.00	103	1264.909	93.489
.200	10.7	.1098	.0081	.560	1695	414.669	30.648	2.1	90	1274.559	94.2024
.210	22.9	.2778	.0205	.565	1705	423.169	31.276	2.2	79	1283.009	94.8269
.220	57.5	.6798	.0502	.570	1712	431.711	31.907	2.3	69	1290.409	95.3739
.225	64.9	.9858	.0728	.575	1719	440.289	32.541	2.4	62	1296.959	95.8580
.230	66.7	1.3148	.0971	.580	1715	448.874	33.176	2.5	55	1302.809	96.2903
.235	59.3	1.6298	.1204	.585	1712	457.441	33.809	2.6	48	1307.959	96.6710
.240	63.0	1.9356	.1430	.590	1700	465.971	34.439	2.7	43	1312.509	97.0073
.245	72.3	2.2738	.1680	.595	1682	474.426	35.064	2.8	39	1316.609	97.3103
.250	70.4	2.6306	.1944	.600	1666	482.796	35.683	2.9	35	1320.309	97.5838
.255	104.0	3.0666	.2266	.605	1647	491.079	36.295	3.0	31	1323.609	97.8277
.260	130	3.6516	.269	.61	1635	499.284	36.902	3.1	26.0	1326.459	98.0383
.265	185	4.4391	.328	.62	1602	515.469	38.098	3.2	22.6	1328.889	98.2179
.270	232	5.4816	.405	.63	1570	531.329	39.270	3.3	19.2	1330.979	98.3724
.275	204	6.5716	.485	.64	1544	546.899	40.421	3.4	16.6	1332.769	98.5047
.280	222	7.6366	.564	.65	1511	562.174	41.550	3.5	14.6	1334.329	98.6200
.285	315	8.9791	.663	.66	1486	577.159	42.657	3.6	13.5	1335.734	98.7238
.290	482	10.9716	.810	.67	1456	591.869	43.744	3.7	12.3	1337.024	98.8192
.295	584	13.6366	1.007	.68	1427	606.288	44.810	3.8	11.1	1338.194	98.9056
.300	514	16.3816	1.210	.69	1402	620.429	45.855	3.9	10.3	1339.264	98.9847
.305	603	19.1741	1.417	.70	1369	634.284	46.879	4.0	9.5	1340.254	99.0579
.310	689	22.4041	1.655	.71	1344	647.849	47.882	4.1	8.70	1341.1641	99.12521
.315	764	26.0366	1.924	.72	1314	661.139	48.864	4.2	7.80	1341.9891	99.16618
.320	830	30.0216	2.218	.73	1290	674.159	49.826	4.3	7.10	1342.7341	99.24124
.325	975	34.5341	2.552	.74	1260	686.909	50.769	4.4	6.50	1343.4141	99.29150
.330	1059	39.6191	2.928	.75	1235	699.384	51.691	4.5	5.92	1344.0351	99.33740
.335	1081	44.9691	3.323	.76	1211	711.614	52.595	4.6	5.35	1344.5986	99.37905
.340	1074	50.3566	3.721	.77	1185	723.594	53.460	4.7	4.86	1345.1091	99.41678
.345	1069	55.7141	4.117	.78	1159	735.314	54.346	4.8	4.47	1345.5757	99.45127
.350	1093	61.1191	4.517	.79	1134	746.779	55.194	4.9	4.11	1346.0049	99.48299
.355	1083	66.5591	4.919	.80	1109	757.994	56.023	5.0	3.79	1346.3999	99.51219
.360	1068	71.9366	5.316	.81	1085	768.966	56.834	6	1.8200	1349.2049	99.71950
.365	1132	77.4366	5.723	.82	1060	779.694	57.527	7	.9900	1350.6099	99.82335
.370	1181	83.2191	6.150	.83	1036	790.174	58.401	8	.5850	1351.3974	99.88155
.375	1157	89.0641	6.582	.84	1013	800.419	59.158	9	.3670	1351.8734	99.91673
.380	1120	94.7566	7.003	.85	990	810.434	59.899	10	.2410	1352.1774	99.93920
.385	1098	100.3016	7.413	.86	968	820.224	60.622	11	.1650	1352.3804	99.95420
.390	1098	105.7916	7.819	.87	947	829.799	61.330	12	.1170	1352.5214	99.96462
.395	1189	111.5091	8.241	.88	926	839.164	62.022	13	.0851	1352.6224	99.97209
.400	1429	118.0541	8.725	.89	908	848.334	62.700	14	.0634	1352.6967	99.97758
.405	1644	125.7366	9.293	.90	891	857.329	63.365	15	.0481	1352.7524	99.98170
.410	1751	134.224	9.920	.91	880	866.184	64.019	16	.037100	1352.7950	99.98485
.415	1774	143.036	10.571	.92	869	874.929	64.665	17	.029100	1352.8281	99.98730
.420	1747	151.839	11.222	.93	858	883.564	65.304	18	.023100	1352.8542	99.98923
.425	1693	160.439	11.858	.94	847	892.089	65.934	19	.018600	1352.8751	99.99077
.430	1639	168.769	12.473	.95	837	900.509	66.556	20	.015200	1352.8920	99.99202
.435	1663	177.024	13.083	.96	820	908.794	67.168	25	.006170	1352.9454	99.99596
.440	1810	185.706	13.725	.97	803	916.909	67.768	30	.002970	1352.9683	99.99765
.445	1922	195.036	14.415	.98	785	924.849	68.355	35	.001600	1352.9797	99.99850
.450	2006	204.856	15.140	.99	767	932.609	68.928	40	.000942	1352.9860	99.99897
.455	2057	215.014	15.891	1.00	748	940.184	69.488	50	.000391	1352.9927	99.99946
.460	2066	225.321	16.653	1.05	688	975.584	72.105	60	.00019000	1352.9956	99.99967
.465	2048	235.606	17.413	1.10	593	1007.109	74.435	89	.00006160	1352.9981	99.99986
.470	2033	245.809	18.167	1.15	535	1035.309	76.519	100	.00002570	1352.9990	99.99992
.475	2044	256.001	18.921	1.20	485	1060.809	78.404	120	.00001260	1352.9994	99.99995
.480	2074	266.296	19.681	1.25	438	1083.884	80.109	150	.00000523	1352.9997	99.99997
.485	1976	276.421	20.430	1.30	397	1104.759	81.652	200	.00000169	1352.9998	99.99999
.490	1950	286.236	21.155	1.35	358	1123.634	83.047	250	.00000070	1352.9999	99.99999
.495	1960	296.011	21.878	1.40	337	1141.009	84.331	300	.00000034	1352.9999	99.99999
.500	1942	305.766	22.599	1.45	312	1157.234	85.530	400	.00000011	1352.9999	99.99999
.505	1920	315.421	23.312	1.50	288	1172.234	86.639	1000	.00000000	1353.0000	100.00000

* λ , wavelength in micrometers; E_λ , solar spectral irradiance averaged over small bandwidth centered at λ , in $\text{W m}^{-2} \mu\text{m}^{-1}$; $E_{0-\lambda}$, integrated solar irradiance in the wavelength range 0 to λ , in W m^{-2} ; $D_{0-\lambda}$, percentage of solar constant associated with wavelengths shorter than λ ; solar constant, 1353 W m^{-2} . Note: Lines indicate change in wavelength interval of integration.

ตัวอย่างที่ 1.1

ให้คำนวณหาสัดส่วนและปริมาณของการแผ่รังสีของดวงอาทิตย์เหนือบรรยากาศโลกในการณ์ต่อไปนี้

- ก. การแผ่รังสีในช่วงรังสีอุลตร้าไวโอเลต (ultraviolet, $\lambda < 0.38 \mu\text{m}$)
- ข. การแผ่รังสีในช่วงที่ตามองเห็น ($0.38 \mu\text{m} < \lambda < 0.78 \mu\text{m}$)
- ก. การแผ่รังสีในช่วงอินฟราเรด (infrared, $\lambda > 0.78 \mu\text{m}$)

วิธีทำ

จากตารางที่ 1-2 ดูช่อง $D_{0-\lambda}$ ซึ่งหมายถึงเปอร์เซนเตอร์ของค่าคงที่ของดวงอาทิตย์ในช่วงที่มีความยาวคลื่นน้อยกว่า λ จะได้

$$\text{ในช่วง } \lambda < 0.38 \mu\text{m} \text{ มี } D_{0-\lambda} = 0.0700 \text{ (หรือ } 7\%)$$

$$\text{ในช่วง } \lambda < 0.78 \mu\text{m} \text{ มี } D_{0-\lambda} = 0.5435 \text{ (หรือ } 54.35\%)$$

ดังนั้น

$$\text{สัดส่วนของรังสีในช่วงรังสีอุลตร้าไวโอเลตต่อปริมาณรังสีทั้งหมด} = 0.0700$$

$$\begin{aligned}\text{สัดส่วนของรังสีในช่วงที่ตามองเห็นต่อปริมาณรังสีทั้งหมด} &= 0.5435 - 0.0700 \\ &= 0.4735\end{aligned}$$

$$\text{สัดส่วนของรังสีอินฟราเรดต่อปริมาณรังสีทั้งหมด} = 1 - 0.5435 = 0.4565$$

และเมื่อหาระบบที่ต้องการให้ได้ 1353 W/m^2 จะได้ $94.71, 640.64, 617.64 (\text{W/m}^2)$ ตามลำดับ

1.2 การแผ่รังสีของดวงอาทิตย์พิจารณาที่ผิวโลก (Solar radiation at earth's surface)

จากล่าสุดของบรรยายการที่มีต่อการแผ่รังสี ทำให้ปริมาณรังสีเหลือมาถึงผิวโลกมีค่ามากน้อยอย่างไร เนื่องจากบรรยายการโลกประกอบด้วยกําชต่าง ๆ โอน้ำ ผุน และอนุภาคอื่น ๆ อีกจำนวนมากที่มายังทำให้รังสีที่เกิดจากการแผ่รังสีของดวงอาทิตย์บางส่วนถูกดูดกลืน กระจัดกระจาบมีทิศทางเบียงเบนไป จึงเหลือรังสีปริมาณหนึ่งมาถึงผิวโลก ดังนั้น การแผ่รังสีมาที่ผิวโลกจึงมีหลายลักษณะเนื่องจากผ่านบรรยายการโลกจะแบ่งได้ดังนี้

1. การแผ่รังสีแบบเป็นลำแสง (beam radiation) เป็นรังสีที่โลกได้รับโดยตรง รังสีไม่มีการเปลี่ยนทิศทาง

2. การแผ่รังสีแบบแพร่กระจาย (diffuse radiation) ผิวโลกได้รับรังสีนี้หลังจากที่รังสีมันเปลี่ยนทิศทางไปจากเดิมแล้วอันกิดเนื่องจากเกิดการสะท้อน (reflection) และการกระจัดกระจาย (scattering) เมื่อรังสีจากดวงอาทิตย์กระแทกกับบรรยายการของโลก

3. การแผ่รังสีทั้งหมด (total radiation) คือผลรวมของการแผ่รังสีแบบลำแสงกับการแผ่รังสีแบบแพร่กระจาย บางที่เรียกค่านี้ว่า global radiation

ในการศึกษาผลของบรรยายการที่มีต่อการแผ่รังสีของดวงอาทิตย์นั้น เราต้องพิจารณาถึงความหนาของบรรยายการที่ขวางกั้นทางเดินของรังสีด้วยซึ่งนิยามคำว่า air mass(m) คือทางเดินของการแผ่รังสีผ่านบรรยายการ โดยพิจารณาว่าถ้าแสงมาในแนวเดิ่งที่ระดับน้ำทะเลถือว่ามีค่าเป็น 1 นั้นคือให้ $m = 1$ ที่ระดับน้ำทะเลเมื่อดวงอาทิตย์อยู่ตรงศูนย์ระหว่าง เราก็จะ หมายถึงทิศตั้งฉากกับแนวระดับหรือมุมซีนิท (the zenith angle) $\theta_z = 0$ และให้ $m = 2$ ถ้า $\theta_z = 60^\circ$ และให้ $m > 3$ เมื่อดวงอาทิตย์อยู่ในระดับขอบฟ้า และ $m = 0$ ถ้าไม่ผ่านบรรยายการ อาจเขียนเป็นสมการที่ว่าไปได้ดัง

$$m = \sec \theta_z \quad (1.1)$$

1.2.1 การทะลุทะลวงผ่านบรรยากาศของลำแสง (Attenuation of beam radiation)

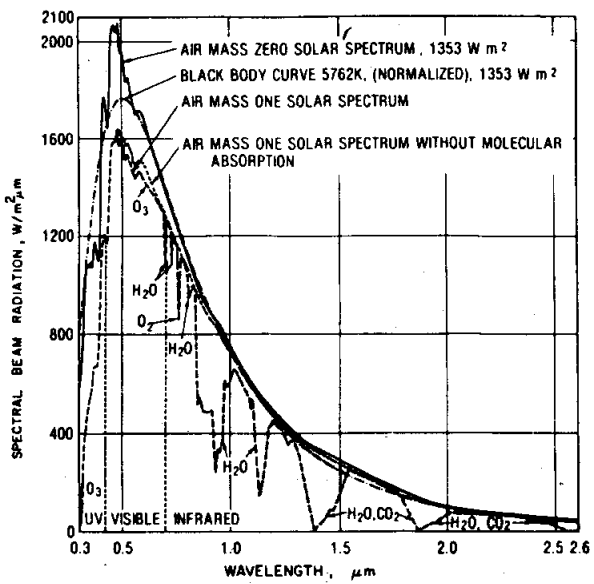
รังสีที่ได้รับบนผิวโลกเนื่องจากการแผ่รังสีของดวงอาทิตย์จะมีค่าเปลี่ยนแปลงไปบ้างเนื่องจาก

1. การเปลี่ยนแปลงระยะห่างระหว่างโลกและดวงอาทิตย์

2. การกระจัดกระจายของแสงเมื่อกระบวนการบรรยายการซึ่งมีโมเลกุลของอากาศ,
ไอน้ำ, ฝุ่น

3. การเปลี่ยนแปลงเนื่องจากการดูดกลืนรังสีของ O_2 , O_3 , H_2O และ CO_2

รูปที่ 1-4 ข. แสดงปริมาณรังสีที่ผ่านบรรยากาศเข้าสู่ผิวโลก กรณีที่ดวงอาทิตย์อยู่ในแนวตั้ง ฉากกับบรรยากาศโลกเทียบกรณี $m = 0$ รังสีเอ็กซ์และการแผ่รังสีในช่วงความยาวคลื่นสั้นจะถูกดูดกลืนโดยบรรยากาศของโลกชั้นไอโอนอฟีเยอร์ (ionosphere) ซึ่งสูงจากโลกประมาณ 48 กิโลเมตรถึงชั้นนอกบรรยากาศโดยมีตัวดูดกลืนคือในโตรเจน, อัอกซิเจนและอื่น ๆ ส่วนใหญ่ของรังสีอุลดร้าไวโอลেตถูกดูดกลืนโดยօโซน (ozone) รังสีความยาวคลื่นมากกว่า 2.5 μm จะถูกดูดกลืนไว้มากโดย CO_2 และ H_2O จึงทำให้เหลือรังสีส่วนน้อยมากที่มาถึงโลก ดังนั้นในการนำเอารังสีมาใช้จัพิจารณาในช่วงประมาณ 0.29 ถึง 2.5 μm ซึ่งเป็นส่วนที่เหลือจากการกระจัดกระจายและการดูดกลืนของสิ่งต่าง ๆ มาถึงโลกจำนวนมากกว่าส่วนอื่น



รูปที่ 1-4 บ. กราฟเปรียบเทียบความเข้มที่ความยาวคลื่นต่าง ๆ เมื่อแสงผ่านบรรยากาศในแนว
คิ่งและแสงไม่ผ่านบรรยากาศ

ได้มีการประมาณหาผลของโมเลกุลของอากาศ, ไอน้ำและฝุ่นที่ทำให้เกิดการกระจัด
กระจายของแสงอาทิตย์ กรณีโมเลกุลของอากาศตามทฤษฎีของ Rayleigh ซึ่งได้มี
การทดลองตรวจสอบได้ค่า the monochromatic transmission factor เนื่องจากการกระจัด
กระจายของแสงเมื่อกระทบโมเลกุลอากาศในบรรยากาศเป็น

$$\tau_{a\lambda} = 10^{-0.00389\lambda^{-4}} \quad (1.2)$$

เมื่อใช้ λ คือความยาวคลื่นของการแพร่งสี (μm), $m = 1$ และที่ความกดดันของบรรยากาศ
เป็น 760 มิลลิเมตรของปืนอห

สำหรับการกรัดกระจายเนื่องจากฝุ่น ซึ่งจะเกิดมากกว่าเกิดจากโมเลกุลอากาศ และขึ้นกับขนาดและความหนาแน่นของฝุ่นในแต่ละตำแหน่งรวมทั้งความสูงและเวลา ด้วย P. Moon (ค.ศ. 1940) ได้หาค่า transmission factor ซึ่งเกิดจากฝุ่นคล้ายที่เกิดจากโมเลกุลอากาศคือ

$$\tau_{d\lambda} = 10^{-0.353\lambda^{-0.75}} \quad (1.3)$$

โดยที่ $m = 1$ และจำนวนฝุ่นเฉลี่ยที่ผิวดินมีค่า 800 อนุภาคต่อสูตรบาร์เซนติเมตร

สำหรับการกรัดกระจายเนื่องจากไอน้ำ เมื่อความ לחายอยู่ในแนวตั้ง คิดปริมาณไอน้ำในแนวตั้งได้เป็นน้ำสูง 20 มิลลิเมตร จะได้ค่า transmission factor เป็น

$$\tau_{w\lambda} = 10^{-0.0075\lambda^{-2}} \quad (1.4)$$

ผลของการกรัดกระจายทั้งหมดที่มีต่อการแผรังสีแบบเป็นลำแสงประมาณได้ว่ามีค่า

$$\tau_{\lambda(s)} = [\tau_{a\lambda}^{p/760} \cdot \tau_{d\lambda}^{d/800} \cdot \tau_{w\lambda}^{w/20}]^m \quad (1.5)$$

เมื่อ $\tau_{\lambda}(s)$ คือ the monochromatic atmospheric transmittance ใช้กับการแผ่รังสีแบบจำแสงกรณีให้เกิดการกระจัดกระจายเท่านั้นที่ความยาวคลื่น λ

P = ความดันทั้งหมด, มิลลิเมตร

d = ความเข้มข้นของฝุ่นที่ผิวโลก, อนุภาคต่อลูกบาศก์เซนติเมตร

w = ความสูงของน้ำ, มิลลิเมตร

m = ความหนาของบรรยากาศ

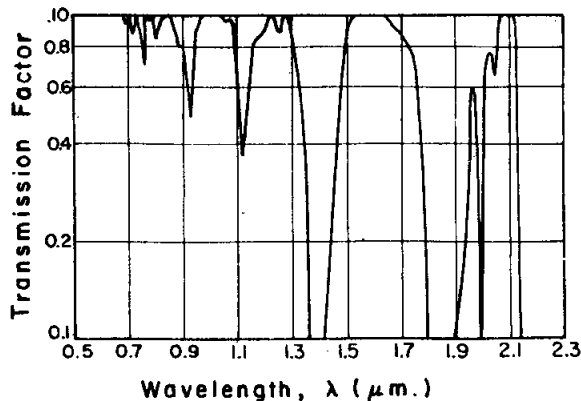
ค่า d และ w ได้จากการประมาณที่ผิวโลกและตามทฤษฎีการกระจัดกระจายของ Rayleigh บอกว่ารังสีความยาวคลื่นสั้นกว่าจะกระจัดกระจายไปมากที่สุด ดังนั้นการแผ่รังสีแบบกระจัดกระจายจะเป็นพวงแสงความยาวคลื่นสั้นมากกว่า

การคุณลักษณะการแผ่รังสีของดวงอาทิตย์ในบรรยากาศส่วนใหญ่เกิดจากโอโซนที่มีต่อรังสีอุลตร้าไวโอล็อกและไอน้ำที่มีต่อรังสีอินฟราเรดและรังสีเกือบจะถูกคุณลักษณะที่ความยาวคลื่นของการแผ่รังสีน้อยกว่า $0.29 \mu\text{m}$ สำหรับค่า transmission factor ที่เกิดจากโอโซนให้ดูจากตารางที่ 1-3

$\lambda, \mu\text{m}$	τ_{λ}
0.29	0
0.30	0.10
0.31	0.50
0.33	0.90
0.35	1.00

ตารางที่ 1-3 ค่า transmission factor ของรังสีอุลตร้าไวโอล็อกผ่านบรรยากาศเนื่องจาก การคุณลักษณะของชั้โนโซนหนา 2.5 มิลลิเมตร ที่ NTP (จาก S.Fritz ค.ศ. 1958)

สำหรับค่า transmission factor ของรังสีอินฟราเรดเนื่องจากถูกไอน้ำคุณลักษณะ
ให้ดูจากรูปที่ 1-5 ซึ่งจะเห็นว่ามีค่าเปลี่ยนแปลงขึ้นกับความยาวคลื่นของแสง



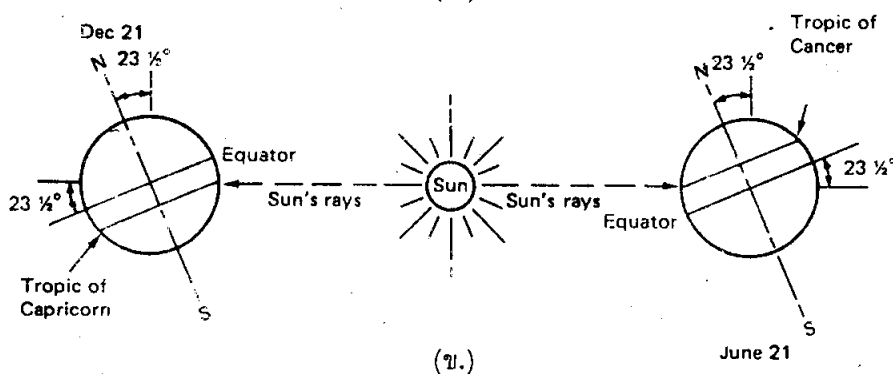
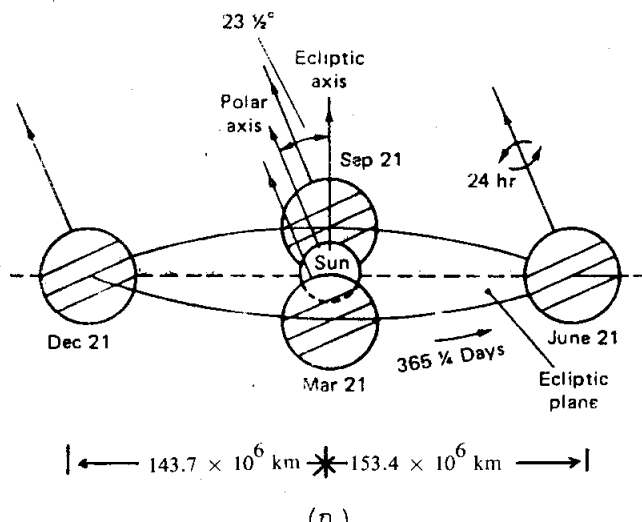
รูปที่ 1-5 ค่า transmission factor ของรังสีอินฟราเรดเนื่องจากถูกไอน้ำคุณลักษณะ (จาก F.E. Fowle อ.ศ. 1915)

และเหนือ $2.3 \mu\text{m}$ ขึ้นไปจะมีค่าต่ำมากเนื่องจากถูกคุณลักษณะโดย H_2O และ CO_2 สเปกตรัมของพลังงานจากดวงอาทิตย์เหนือบรรยายกาศโลกละมีค่าน้อยกว่า 5% ของสเปกตรัมทั้งหมด จากดวงอาทิตย์และพลังงานที่มาถึงผิวโลกมีค่าน้อยลงอีก เมื่อหาค่า monochromatic transmittance สำหรับการแผ่วรังสีแบบจำแสง จะได้

$$\tau_{\lambda} = \tau_{\lambda(s)} \tau_{\lambda(\text{abs})} = \tau_{\lambda(s)} \tau_{\text{o}\lambda} \tau_{\text{w}\lambda} \quad (1.6)$$

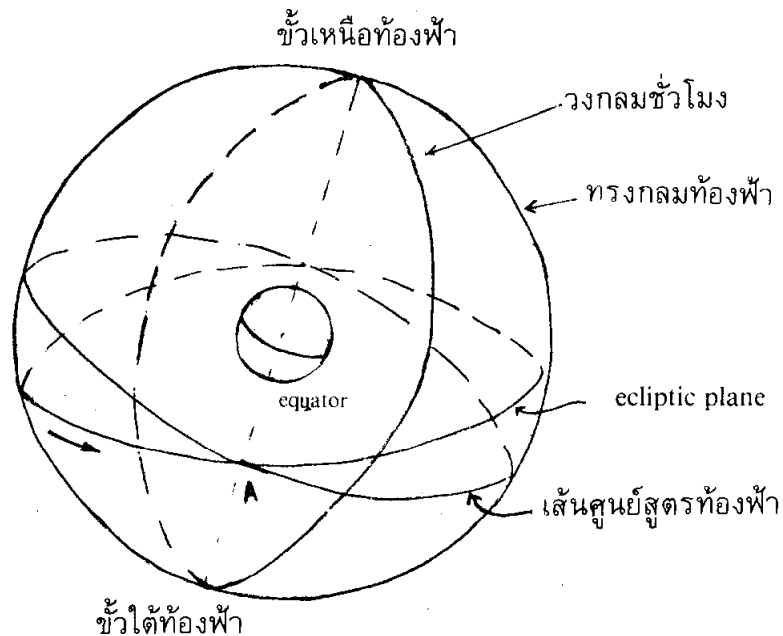
1.2.2 ทิศทางของการแพร่รังสีแบบล้ำแสงมายังโลก

ล้ำแสงที่ปกติแพร่รับแสงที่ผ่านโลกจะมีค่ามากน้อยแค่ไหนขึ้นอยู่กับเวลาและสถานที่บนโลกด้วยเนื่องจากโลกโดยรอบดวงอาทิตย์เป็นวงรีเรียกว่าระบบของวงโคจรนี้ว่า ecliptic plane และโลกหมุนรอบตัวเองโดยมีแกนหมุน ทำมุกับระบบดังกล่าวเป็นมุก $23\frac{1}{2}$ องศาดังรูปที่ 1-6 ในการเคลื่อนที่ของโลกรอบดวงอาทิตย์ใน 1 ปี ระบบ ecliptic



รูปที่ 1-6 (n.) การเคลื่อนที่ของโลกรอบดวงอาทิตย์
(u.) การเอียงตัวของโลกรับล้ำแสงอาทิตย์

จะตัดกับระนาบเส้นศูนย์สูตรโลก (ระนาบเส้นศูนย์สูตรท้องฟ้า) ณ 2 ตำแหน่ง สมมุติโลกอยู่ นิ่งตำแหน่งหนึ่งจะตรงกับตำแหน่งของดวงอาทิตย์บนระนาบ ecliptic ที่กำลังเคลื่อนที่ผ่านเส้นศูนย์สูตรจากใต้ขึ้นไปทางเหนือจะเป็นวันที่ 21 มีนาคม เราเรียกตำแหน่งนี้ว่า vernal equinox หรือจุดแรกแห่งราศีเมษ หรือจุด A ในรูปที่ 1-7



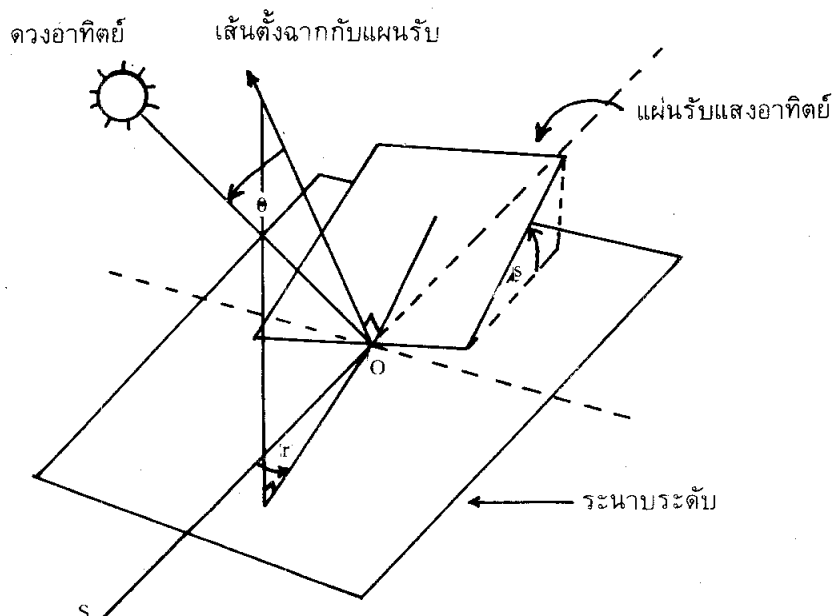
รูปที่ 1-7 ระนาบเส้นศูนย์สูตรท้องฟ้ากับระนาบ ecliptic

โคординेनต (coordinate) ที่ใช้บอกตำแหน่ง เทพฟากฟ้าตามระบบเส้นศูนย์สูตร จะใช้ค่า α (right accession) และ δ หรือเดคลิเนชัน (declination) โดยที่ α คือระยะทางเชิงมุมที่ วัดจากจุด A ในรูปที่ 1-7 ไปทางทิศตะวันออกตามเส้นศูนย์สูตรท้องฟ้า มีค่าตั้งแต่ 0 ถึง 360 องศา ส่วนค่า δ คือระยะทางเชิงมุมที่วัดขึ้นไปทางเหนือหรือลงไปทางใต้ของเส้นศูนย์สูตรท้องฟ้าตามวงกลมชั่วโมงที่ผ่านตำแหน่งที่จะบอกจนถึงตำแหน่งนั้น มีค่าตั้งแต่ 0 ถึง 90 องศาเหนือ ($+90^\circ$) และ 0 ถึง 90 องศาใต้ (-90°)

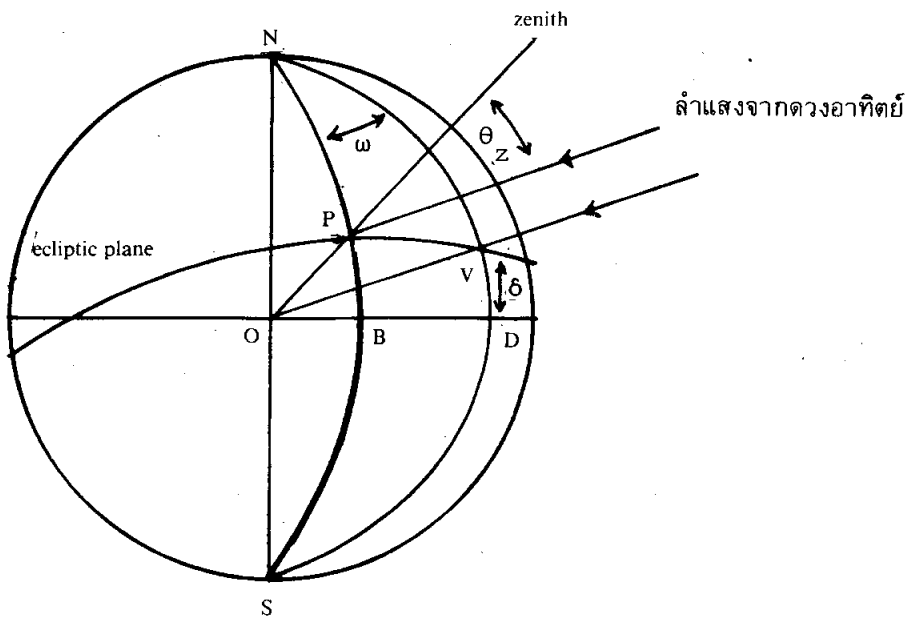
เมื่อแผ่นวัตถุที่ใช้รับแสงอาทิตย์บนผิวโลกที่ตำแหน่งใด ๆ ให้พิจารณารูปที่ 1-8 ซึ่งแสดงเมื่อรับแสงอาทิตย์ที่เอียงทำมุมกับระนาบระหว่างเป็นมุม s และดวงอาทิตย์ทำมุมกับเส้นตั้งฉากกับแผ่นรับแสงเป็นมุม θ เมื่อรับแสงหันหน้าเฉียงไปทางทิศตะวันออกเฉียงใต้เป็นมุม r จากทางทิศใต้ ซึ่งนั่นถ้าคำแสงที่แพร่出來จากดวงอาทิตย์ผ่านบรรยากาศมาถึงผิวโลก ณ เวลาใด ๆ มีค่า $I_{h,c}$ ดังนั้นปริมาณคำแสงดังกล่าวจะกระทบแผ่นรับแสงดังรูปที่ 1-8 ตามแนวตั้งหากแผ่นรับมีค่าตามสมการ

$$I_{h,c} = I_b \cos \theta \quad (1.7)$$

โดยที่ $\cos \theta$ หาโดยการพิจารณาตำแหน่งของดวงอาทิตย์ และตำแหน่งของแผ่นรับแสงที่ผิวโลกว่าอยู่ที่ใด ละติจูด (Latitude) เท่าใดและตอนนี้ดวงอาทิตย์ขึ้นจากขอบฟ้าห่างจากเวลาเที่ยงเป็นเวลาใด มุมต่าง ๆ ที่เกี่ยวข้องกับ θ ให้ดูรูปที่ 1-9 ในการหาความสัมพันธ์ของมุมช่วงโmono สุริยะ γ ,



รูปที่ 1-8 แผ่นรับแสงอาทิตย์และมุมต่าง ๆ ที่เกี่ยวข้อง



รูปที่ 1-9 มุมต่าง ๆ ที่เกี่ยวข้องกับคำนวนแผ่นรับแสงที่จุด P ขึ้งอยู่ที่ละติจูด POB

เดคลินเรชัน δ และละติจูด POB (ϕ) อาศัยกฎของโคไซน์ที่ใช้สำหรับสามเหลี่ยมทรงกลม (the law of cosines for spherical triangles) มาพิจารณาในที่มีรายละเอียดและเราจะได้ความสัมพันธ์ระหว่างมุม θ และมุมอื่น ๆ ตามรูป 1-8 และ 1-9 จากที่ F. Benford และ J.E. Bock (ค.ศ. 1939) ได้ทำไว้ตามสมการ

$$\begin{aligned}
 \cos \theta = & \sin \delta \sin \phi \cos s - \sin \delta \cos \phi \sin s \cos r \\
 & + \cos \delta \cos \phi \cos s \cos \omega \\
 & + \cos \delta \sin \phi \sin s \cos r \cos \omega \\
 & + \cos \delta \sin s \sin r \sin \omega
 \end{aligned} \tag{1.8}$$

- โดยที่ θ = ละติจูด (ไปทางทิศเหนือคิดเป็นค่าบวก)
 δ = เดคลินชั่นหมายถึงมุขของดวงอาทิตย์ตอนเที่ยง (solar noon) เทียบกับระนาบ
 อีเคเตอร์ ถ้าไปทางทิศเหนือให้มีค่าเป็นบวก
 s = มุขอุปสงค์ของแผ่นรับแสงกับแนวระดับ
 r = มุขของการหันหน้าของแผ่นรับแสงไปจากทางทิศใต้ (azimuth angle) ถ้าหัน
 หน้าไปทางทิศใต้ให้มีค่าเป็นศูนย์ ถ้าหันเฉียงไปทางทิศตะวันออกมีค่าบวก
 หันเฉียงไปทางทิศตะวันตกให้มีค่าลบ
 φ = มุขชั่วโมง โดยให้ตอนเที่ยงมีค่าเป็นศูนย์ และแต่ละชั่วโมงมีค่าเท่ากับ 15
 องศาของลองกิจูด (longitude) ถ้าไปทางตอนเช้ามีค่าเป็นบวกและตอนบ่าย
 มีค่าเป็นลบ ตัวอย่างเช่น $\varphi = +15^\circ$ หมายถึง 11:00 น และถ้า $\varphi = -37.5^\circ$ หมายถึง 14:30 น.

สำหรับค่า δ ดังกล่าวหาได้จากการประมาณของ P.I. Cooper (ค.ศ. 1969) ตามสมการ

$$\delta = 23.45 \sin [360 \frac{(284+n)}{365}] \text{ องศา} \quad (1.9)$$

โดยที่ n คือวันของปี เช่นวันที่ 4 มกราคม จะได้ $n = 4$ สำหรับค่า δ นี้อาจหาได้
 จากรูปที่ 1-18

ตัวอย่างที่ 1.2

ให้คำนวนหามุขของการแผ่รังสีแบบลำแสงที่ทำกับเส้นตั้งฉากแผ่นรับแสงที่
 อุปณิธุ์ ณ กรุงเทพฯ ที่ตำแหน่งละติจูด $13^\circ 44'N$ เมื่อเวลา 12:30 น. ของวันที่ 30 ธันวาคม เมื่อแผ่น
 รับแสงดังกล่าวเอียงทำมุขกับแนวระดับ 14° และหันหน้าไปทางทิศตะวันตกเฉียงใต้เป็นมุม
 5° จากทิศใต้

วิธีทำ

จากโจทย์เราจะได้ $s = 14^\circ$, $r = -5^\circ$ และ $\gamma = -7.5^\circ$ ตามสมการ (1.9) เท่ากับ -23.15° และค่าอื่น $\phi = 13.73^\circ$, $\theta = 23^\circ 44'$ ดังนั้นตามสมการ (1.8) จะได้

$$\begin{aligned}\cos \theta &= \sin(-23.15^\circ) \sin 13.73^\circ \cos 14^\circ \\&\quad - \sin(-23.15^\circ) \cos 13.73^\circ \sin 14^\circ \cos(-5^\circ) \\&\quad + \cos(-23.15^\circ) \cos 13.73^\circ \cos 14^\circ \cos(-7.5^\circ) \\&\quad + \cos(-23.15^\circ) \sin 13.73^\circ \sin 14^\circ \cos(-5^\circ) \cos(-7.5^\circ) \\&\quad + \cos(-23.15^\circ) \sin 14^\circ \sin(-5^\circ) \sin(-7.5^\circ)\end{aligned}$$

$$\cos \theta = -0.0905 - (-0.0920) + 0.8593 + 0.0521 + 0.0025$$

$$\cos \theta = 0.9154$$

$$\theta = 23^\circ 44' = \text{มุมของการแพร่รังสีแบบเป็นลำกับแนวตั้งจากแผ่นรับ}$$

นอกจากนี้ยังมีการนิยามมุมอีก 2 มุมที่นิยมใช้กันคือมุมซีนิก (the zenith angle) เป็นมุมระหว่างลำแสงจากดาวอาทิตย์กับแนวตั้งที่ตั้งจากกับระนาบระดับ ใช้สัญญลักษณ์ แทนมุมนี้เป็น Θ , อีกมุมคือมุมสูงของดาวอาทิตย์ (solar altitude) เป็นมุมระหว่างลำแสงจาก ดวงอาทิตย์กับระนาบระดับใช้สัญญลักษณ์ α ซึ่งมีค่าเท่ากับ $(90^\circ - \Theta)$

ในหลายกรณีสมการ (1.8) เราอาจทำให้อยู่ในรูปที่ดูง่ายและสั้นกว่านั้นได้โดย การพิจารณาว่า

1. ถ้าแผ่นรับแสงอาทิตย์หันหน้าไปทางทิศใต้ ($r = 0$) เทอมสุดท้ายจะหายไป
2. ถ้าแผ่นรับแสงอาทิตย์เอียงตั้งจากกับระนาบระดับ ($s = 90$) เทอมแรกและ เทอมที่สามจะหายไป

3. ถ้าแผ่นรับแสงอาทิตย์วางขานานกับระนาบระดับ ($s = 0$) จะเหลือเฉพาะเทอมที่หนึ่งและสาม ดังนั้นมุறะห่วงล้ำแสงของการแพร่องสีจากดวงอาทิตย์กับแนวดิ่ง, θ_z ได้จากสมการ

$$\cos \theta_z = \sin \delta \sin \phi + \cos \delta \cos \phi \cos s \quad (1.10)$$

ตัวอย่างที่ 1.3

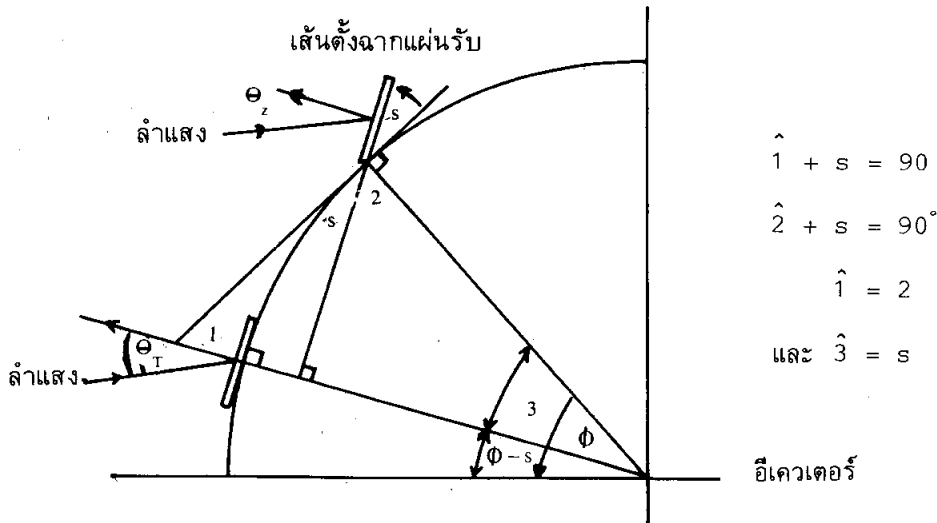
ให้คำนวณหามุมที่ล้ำแสงจากการแพร่องสีของดวงอาทิตย์ทำกับแนวดิ่งที่ตั้งจากกับระนาบระดับ ณ กรุงเทพมหานคร เมื่อวันที่ 30 ธันวาคม เวลา 12:30 น.

วิธีทำ

จากสมการ (1.10) และตัวอย่างที่ 1.2 เราจะได้

$$\begin{aligned} \cos \theta_z &= \sin(-23.15^\circ) \sin 13.73^\circ + \cos(-23.15^\circ) \cos 13.73^\circ \\ &\quad \cos(-7.5^\circ) \\ &= -0.0933 + 0.8856 = 0.7923 \\ \theta_z &= 37^\circ 36' \end{aligned}$$

ความล้มพังที่มีประโยชน์อีกรายหนึ่งก็คือ มุมของการตัดกระบทบันแผ่นรับแสงที่เอียงเป็นมุม s ไปทางทิศเหนือหรือทิศใต้ จะมีค่าเหมือนกับมุมที่ล้ำแสงตัดกระบทบันแผ่นรับแสงที่วางขานานกับแนวระดับที่ลักษณะ ($\phi - s$) ดังรูปที่ 1-10 เมื่อพิจารณาอย่างๆ ดังนั้นจากสมการ (1.10) เราสามารถใช้ได้



รูปที่ 1-10 ความสัมพันธ์ระหว่างแผ่นรับแสงที่เอียงเป็นมุม s กับ 각ตื้อ ϕ กับแผ่นรับแสงที่วางในแนวระดับที่각ตื้อ $(\phi-s)$ บนผิวโลก

$$\cos \theta_T = \sin \delta \sin(\phi-s) + \cos \delta \cos(\phi-s) \cos \omega \quad (1.11)$$

นอกจากนี้สมการ (1.10) สามารถนำไปใช้หามุมชั่วโมงเมื่อพระอาทิตย์ขึ้นหรือพระอาทิตย์ตก,

$|\omega_s|$ โดยพิจารณาให้ $\theta_z = 90^\circ$ จะได้

$$\cos \omega_s = \frac{-\sin \delta \sin \phi}{\cos \delta \cos \phi} = -\tan \delta \tan \phi \quad (1.12)$$

ดังนั้นจะได้จำนวนชั่วโมงของกลางวันมีค่า

$$T_d = \frac{2}{15} \cos^{-1} (-\tan \phi \tan \delta) \quad (1.13)$$

1.2.3 เวลาสุริยะและสมการของเวลา

(Solar time and the equation of time)

เวลาที่กล่าวถึงดูงอาทิตย์อยู่ที่เด่นนี้ใช้เวลาสุริยะซึ่งเป็นเวลาที่ต่างไปจากเวลาตามนาฬิกาในท้องถิน ดังนั้นจึงจำเป็นต้องแบ่งเวลามาตรฐาน (standard time) ท้องถินให้เป็นเวลาสุริยะโดยใช้ตัวแก้ 2 ตัว ตัวแรกคือค่าแก้จากความแตกต่างของลองกิจระหว่างท้องถิน กับเมริเดียน (meridian) ที่เวลามาตรฐานท้องถินอ้างอิง สำหรับประเทศไทยอ้างอิงเวลาที่เมริเดียนที่ลองกิจ 105° E (ผ่านจังหวัดอุบลราชธานี) ส่วนกรุงเทพมหานครอยู่ที่ลองกิจ $100^{\circ} 30'$ E ค่าแก้ตัวที่สองคือค่าที่ได้จากการซึ่งมาจากโครงข่ายโลกของลองกิจ 111 หน่วยนาที จึงทำให้อัตราการหมุนมีผลกระทบต่อเวลาที่ปรากฏแก่เมริเดียนของผู้สังเกตเกิดความแตกต่างระหว่างเวลาเฉลี่ยกับเวลาที่ปรากฏในแต่ละเดือนของปี ดังนั้นเวลาสุริยะจึงมีค่าตามความสัมพันธ์

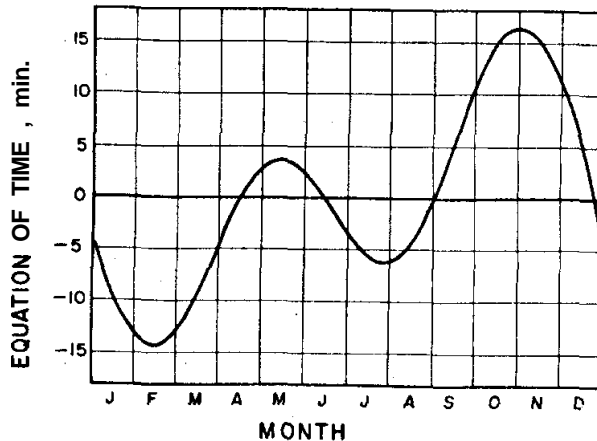
$$\text{เวลาสุริยะ} = \text{เวลามาตรฐานท้องถิน} + E \pm 4 \frac{\text{นาที}}{\text{องศา}} (L_{st} - L_{loc}) \quad (1.14)$$

โดยที่ E คือ ค่าที่จะได้จากการซึ่งเวลาตามรูปที่ 1-11 หน่วยนาที

L_{st} = เมริเดียนมาตรฐานสำหรับออกเวลาท้องถิน, องศา

L_{loc} = ลองกิจของตำแหน่งที่สังเกต, องศา

ค่า \pm นั้นถ้าคำนวณที่สังเกตอยู่ล่องกิจูดตะวันออกได้ค่าลบ ถ้าอยู่ล่องกิจูดตะวันตกใช้ค่านบาก เป็นที่น่าสังเกตว่าดวงอาทิตย์จะใช้เวลา 4 นาทีในการเคลื่อนที่ผ่านแต่ละลงกิจูด 1 องศา



รูปที่ 1-11 สมการของเวลาเป็นฟังก์ชันกับเวลาของปี

ตัวอย่างที่ 1.4

ให้หาเวลาสุริยะที่กรุงเทพมหานคร เมื่อเวลาตามตรรฐานท้องถิ่นเป็นเวลา 12:00 น.
ของวันที่ 31 มีนาคม

วิธีทำ

ดูค่า E จากรูปที่ 1-11 และหาค่าอื่น ๆ แล้วใช้สมการ (1.14) จะได้

$$\begin{aligned}
 \text{เวลาสุริยะ} &= 12:00 \text{ น.} - 5 \text{ นาที} - 4 (105 - 100.5) \text{ นาที} \\
 &= 12:00 \text{ น.} - 23 \text{ นาที} \\
 &= 11:37 \text{ น.}
 \end{aligned}$$

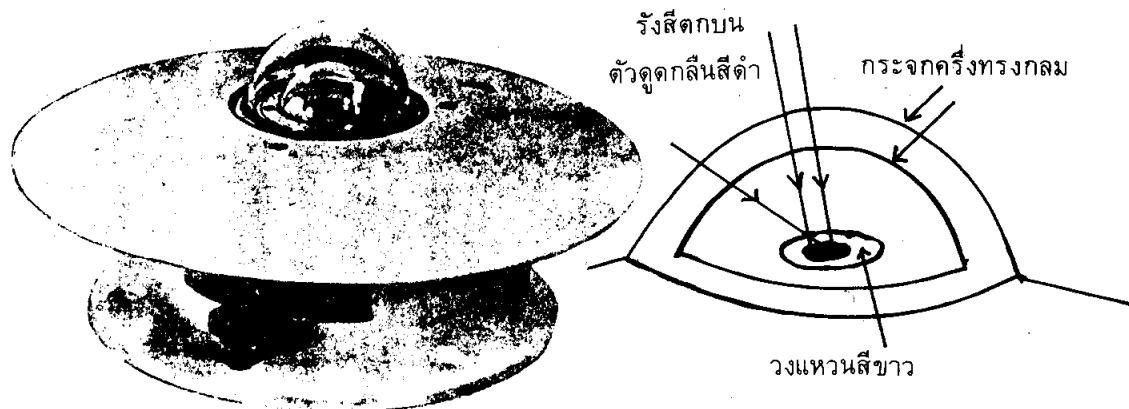
1.3 การวัดและการประมาณการแผ่รังสีจากดวงอาทิตย์ (Measurements and estimation of solar radiation)

ดังได้กล่าวมาแล้วว่าการแผ่รังสีจากดวงอาทิตย์มีทั้งแบบลำแสงและแบบเพร่กระจาย ถ้ารวมการแผ่รังสีทั้งสองเรียกรวมว่าการแผ่รังสีทั้งหมด การแผ่รังสีของดวงอาทิตย์ เราประมาณว่าเป็นแหล่งกำเนิดความร้อนอุณหภูมิประมาณ 5762 K รังสีส่วนใหญ่จะมีความยาวคลื่นระหว่าง 0.3 ถึง $3.0\text{ }\mu\text{m}$ ถือเป็นส่วนหนึ่งของรังสีความร้อน (thermal radiation) ซึ่งมีช่วงประมาณ 0.1 ถึง $100\text{ }\mu\text{m}$ ดังนั้นการแผ่รังสีจากดวงอาทิตย์ จึงเป็นพวงกลีนสัน ส่วนอีกพวงหนึ่งที่เหลือถือเป็นการแผ่รังสีคลื่นยาวเป็นพวงแหล่งกำเนิดความร้อนอุณหภูมิต่ำๆ เช่น แผ่นรับแสงอาทิตย์ ห้องฟ้าโดยเฉลี่วันที่มีเมฆมากๆ ซึ่งมีอุณหภูมิใกล้เคียงกับอุณหภูมิแวดล้อม พวงหลังนี้จะให้รังสีที่มีความยาวคลื่นมากกว่า $3\text{ }\mu\text{m}$

1.3.1 เครื่องมือวัดรังสีดวงอาทิตย์

ที่นิยมใช้กันอยู่พожะแบ่งได้เป็น 2 แบบคือแบบวัดการแผ่รังสีทั้งหมดและแบบวัดการแผ่รังสีแบบเพร่กระจาย จะกล่าวถึงหลักการของเครื่องมือแต่ละแบบดังนี้

1. ไพรอนิมเตอร์ (pyranometer) หรืออาจมีชื่ออื่นเช่น solarimeter หรือ actinometer เครื่องวัดแบบนี้มีลักษณะดังรูปที่ 1-12 ใช้วัดรังสีทั้งหมดของครึ่งทรงกลม และถ้าหากใช้ตัวบังแสง (shade ring) กันการแผ่รังสีแบบลำแสง ก็จะเป็นการวัดการแผ่รังสีแบบเพร่กระจาย ค่าที่วัดได้มักทำให้เป็นผลลัพธ์ทั้งหมดต่อพื้นที่ต่อเวลาหลักการก็คืออาศัยความแตกต่างของอุณหภูมิระหว่างผิวสีดำซึ่งจะคุ้ดคลื่นการแผ่รังสีเกือบทั้งหมดและผิวสีขาวซึ่งให้สะท้อนรังสีเกือบทั้งหมดโดยใช้เทอร์โมไฟล์ (thermopiles or thermocouple junctions) เชื่อมต่อกัน

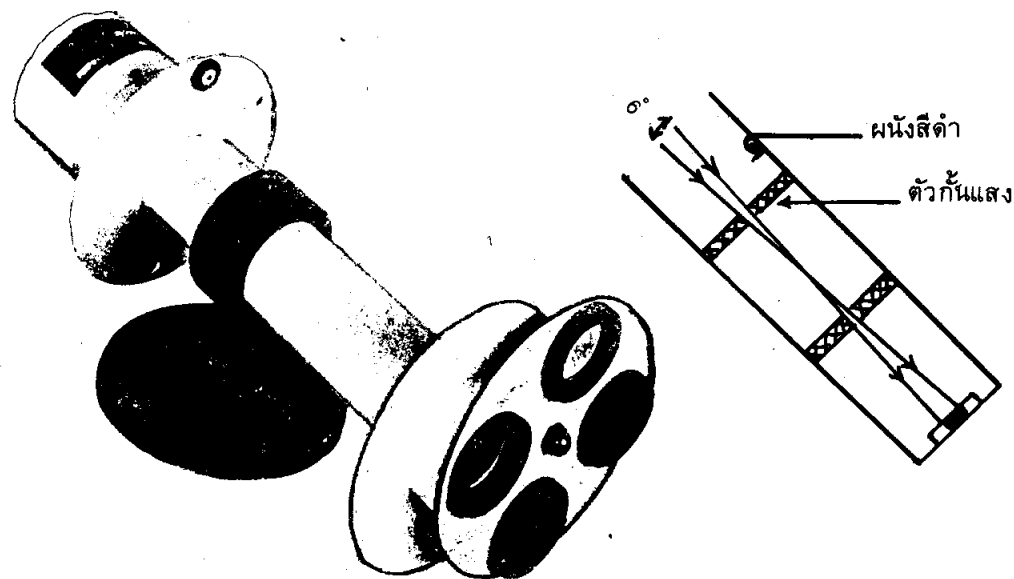


รูปที่ 1-12 ไฟรานอมิเตอร์รูปขวามือแสดงส่วนรับการแผรังสี

วงแหวนทึ้งสอง จะเกิดความต่างศักย์ทางไฟฟ้าเป็นสัดส่วนกับอุณหภูมิที่แตกต่างหรือปริมาณรังสีที่ได้รับ วงแหวนอันนอกผิวสีขาวและอันในเป็นสีดำ ส่วนใหญ่วงแหวนเหล่านี้จะทำด้วยแผ่นเงินหนาประมาณ 0.25 มิลลิเมตร แล้วทาด้วยแมgnีเซียมอ๊อกไซด์ (magnesium oxide) เป็นผิวสีขาวและสีดำของพาร์สัน (Parson's black) เป็นผิวสีดำ แล้วมีจำนวนกันไว้ระหว่างวงแหวน การวัดความต่างศักย์อาจใช้ platinum-gold thermocouples แล้วแปลงค่าให้เป็น W/m^2

นอกจากนี้ยังมีไฟรานอมิเตอร์แบบใช้เทอร์โมไฟล์แบบให้ขั้วร้อนตากรังสีของดวงอาทิตย์ ส่วนอีกขั้วมีที่บังไว้เป็นขั้วเย็น และแบบ Robitsch ใช้หลักการขยายตัวไม่เท่ากันของโลหะสองชนิดเมื่อได้รับรังสี นอกจากที่กล่าวมาแล้วมีแบบใช้หลักการของเซลล์สุริยะหรือแบบ photovoltaic detectors เรียกเครื่องมือนี้ว่า Yellott solarimeter ซึ่งสามารถใช้เซลล์สุริยะมักเป็นชิลิกอน, ซีลีเนียมและแคนเดเมียมชัลไฟด์

2. ไพรีลิโอมิเตอร์ (pyrheliometer) ใช้วัดการแพร่รังสีแบบเป็นลำหรือการแพร่รังสีโดยตรงจากดวงอาทิตย์ ลักษณะเครื่องมือแบบนี้เห็นรูปที่ 1-13 เครื่องมือนี้สร้างใช้หลักเดียวกันกับไพรานโมิเตอร์เพียงแต่เพิ่มตัวกันการแพร่รังสี (collimators) เพื่อให้มีมุมที่แสงผ่านหน้าต่างเครื่องรับประมาณ 6 องศา เพื่อรับเฉพาะการแพร่รังสีแบบเป็นลำเท่านั้น ผนังของลำกล้องทำด้วยสีดำเพื่อลดการกระจัดกระจายของแสง



รูปที่ 1-13 ไพรีลิโอมิเตอร์ รูปด้านขวาเป็นโครงสร้างภายใน

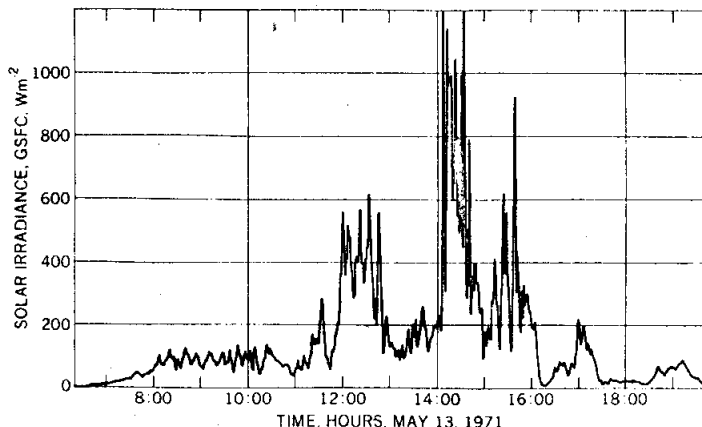
ดังนั้นจากเครื่องมือทั้งสองแบบเราจึงสามารถวัดการแพร่รังสีทั้งหมดและการแพร่รังสีแบบลำแสงได้จากนั้นเรายังใช้ค่าทั้งสองมาหักออกจากกันได้ค่าการแพร่รังสีแบบแพร่กระจายได้ด้วย

1.3.2 ข้อมูลเกี่ยวกับการแพร่รังสีจากดวงอาทิตย์

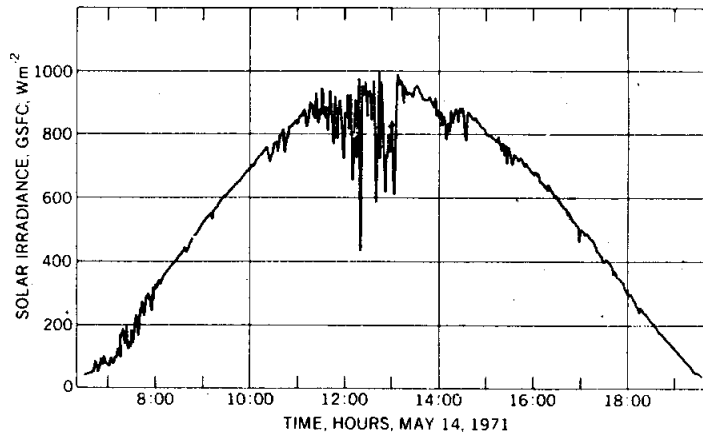
ข้อมูลของการแพร่รังสีจากดวงอาทิตย์มีอยู่หลายแบบซึ่งมักจะรวมสิ่งต่อไปนี้ด้วยคือ

1. ข้อมูลที่ได้จากการวัดแล้วอ่านค่าเลย ณ เวลาใดหรือเป็นค่าเฉลี่ยของช่วงเวลาใด เช่น ชั่วโมง, วัน หรือเดือน
2. เป็นการวัดการแพร่รังสีแบบใด
3. เครื่องมือที่ใช้วัดเป็นแบบใด การวางแผนของผู้ให้น้ำเครื่องวัดวางในแนวใด เช่นแนวระดับหรือเอียงทำมุกกับระนาบระดับ
4. ตำแหน่งที่วัดอยู่ที่ใดของโลก

ตัวอย่างข้อมูลของปริมาณการแพร่รังสีทั้งหมดเฉพาะวันหนึ่งที่อากาศค่อนข้างจะมีเมฆมาก มากโดยเฉพาะช่วงเช้าและเย็นที่ Greenbelt, Maryland ฤดูร้อนที่ 1-14 และอีกวันหนึ่งถัดไปที่เดียว กันเป็นวันที่อากาศค่อนข้างสดใสเมฆพัดผ่านบ้างเล็กน้อยโดยเฉพาะตอนเที่ยง ให้ดูรูปที่ 1-15 วัดโดยใช้ Eppley pyranometer ติดตั้งบนหลังคาที่ศูนย์การบินอวกาศ Goddard

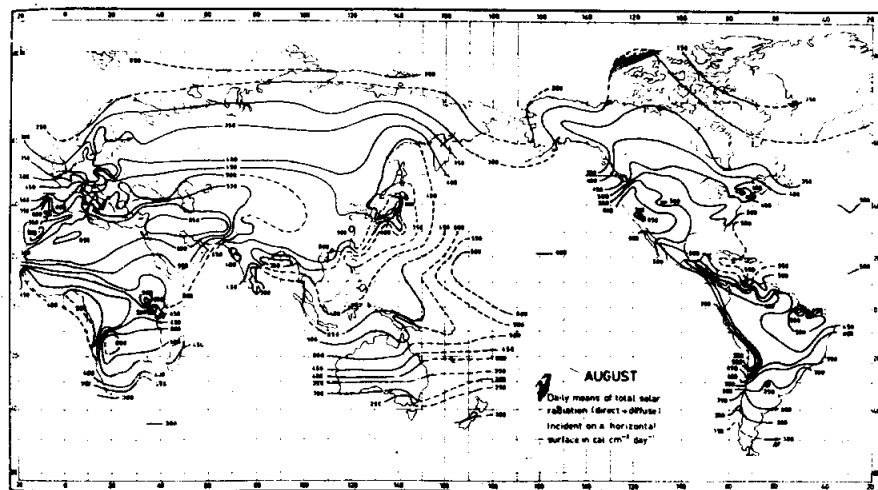


รูปที่ 1-14 ปริมาณรังสีทั้งหมดที่วัดได้ในแนวระดับเมื่อเวลาสุริยะต่าง ๆ ของวันที่มีเมฆมาก



รูปที่ 1-15 ปริมาณรังสีทั้งหมดที่ตก ได้ในหน่วยระดับเมื่อเวลาสุริยะต่าง ๆ ของวันที่มีห้องฟ้า
สดใหม่เมื่อพักผ่อนเล็กน้อย

(GSFC) ที่เมืองดังกล่าวแล้ว อีกด้วยย่างกุญแจที่ 1-16 เป็นการวัดปริมาณรังสีทั้งหมดในหน่วย
ระดับเฉลี่ยแต่ละวันของเดือนสิงหาคม ในส่วนต่าง ๆ ของโลก (จาก B. de Jong, ค.ศ. 1973)



รูปที่ 1-16 ปริมาณรังสีทั้งหมดที่ตก ได้ในหน่วยระดับเฉลี่ยแต่ละวันของเดือนสิงหาคม ในส่วน
ต่าง ๆ ของโลก

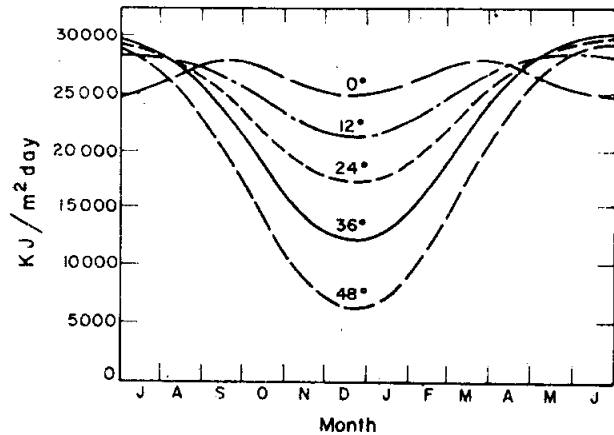
1.3.3 การประมาณค่าการแฝรั้งสีโดยเฉลี่ย

ในการหาข้อมูลของการแฝรั้งสีจากดวงอาทิตย์ มักอาศัยข้อมูลที่ได้จากสถานีตรวจอากาศของกรมอุตุนิยมวิทยา เช่น ข้อมูลเกี่ยวกับจำนวนชั่วโมงที่ดวงอาทิตย์ส่องแสงเฉลี่ยแต่ละวันของเดือนใดเดือนหนึ่ง หรือเปอร์เซ็นต์ที่จะเป็นไปได้ ข้อมูลเกี่ยวกับปริมาณเมฆปากลุ่ม ฯลฯ ข้อมูลบางอย่างเป็นสิ่งจำเป็นเพื่อใช้ประกอบการคำนวณค่าของการแฝรั้งสี ทั้งนี้ เพราะการประมาณค่าการแฝรั้งสี จะใช้ความสัมพันธ์ทางทฤษฎีประกอบกับการทดลอง (empirical equation) แต่ปัจจุบันมีลักษณะคล้ายคลึงกัน ลดติดคล้ายกัน ภูมิอากาศและภูมิประเทคโนโลยีก็อาจใช้ข้อมูลของแหล่งนั้น ๆ มาใช้ได้ สมการเริ่มแรกที่นิยมนำมาใช้คำนวณหาค่าเฉลี่ยของการแฝรั้งสีจากปริมาณรังสีในวันอากาศแจ่มใส และสัดส่วนของชั่วโมงที่มีแสงแดดร่องที่จะเป็นไปได้ของที่ได้ (Angström-type regression equation, A.K. Angstrom ค.ศ. 1924) คือ

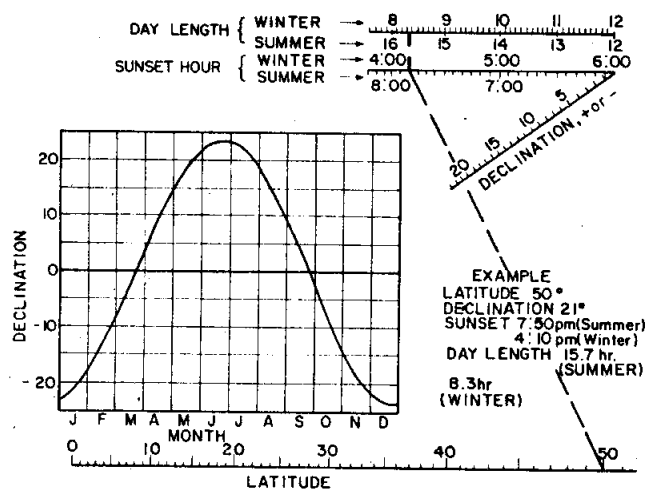
$$H_{av} = H'_0 \left(a' + b' \frac{N_{av}}{N_{max}} \right) \quad (1.15)$$

เมื่อ H_{av} = ปริมาณรังสีในแนวระดับโดยเฉลี่ยในช่วงเวลาหนึ่ง เช่นเดือน
 H'_0 = ปริมาณรังสีในแนวระดับในวันห้องฟ้าแจ่มใสในช่วงเวลาเดียวกัน
 N_{av} = จำนวนชั่วโมง (เฉลี่ย) ที่มีแสงแดดร่องที่จะเป็นไปได้แต่ละวันในช่วงเวลาเดียวกัน
 N = จำนวนชั่วโมง (สูงสุด) ที่จะมีแสงแดดร่องที่จะเป็นไปแต่ละวันในช่วงเวลาเดียวกัน

S. Fritz (ค.ศ. 1951) ได้ใช้วิธีการทางสถิติอาศัยข้อมูลที่ทดลองได้หาค่า a' และ b' ได้ 0.35 และ 0.61 ตามลำดับ ส่วนค่า H'_0 ให้ใช้ค่าจากกราฟในรูปที่ 1-7 ค่าที่จำเป็นต้องทราบอีกคือความยาวของเวลากลางวัน (N) หาได้จากสมการ (1.13) หรือจากรูปที่ 1-18 เป็นโน้ม



รูปที่ 1-17 ปริมาณรังสีในแนวระดับในวันท้องฟ้าแจ่มใสในเดือนและละติจูดต่าง ๆ



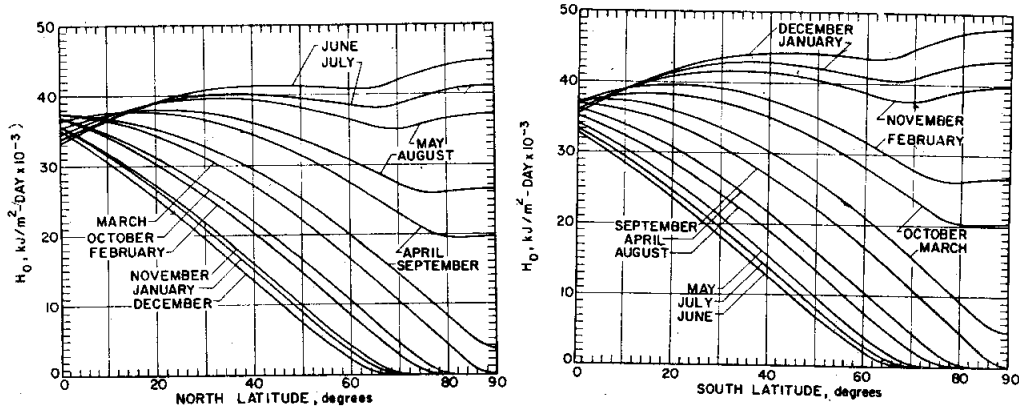
รูปที่ 1-18 ในโน้ตเคนทรัคคำนวณขั้วโลกของอาทิตย์ตกลงและความยาวของกลางวัน

แกรม (nomogram) จัดทำขึ้นโดย A. Whillier (ค.ศ. 1965) ส่วนค่า N_{av} นั้นได้จากการวัด แต่อย่างไรก็ตามมีปัญหาในการใช้สมการ (1.15) คือความไม่ชัดเจนของ H_0 และ N_{av}/N ปัญหาแรกก็คือเกี่ยวกับนิยามคำว่ารันท้องฟ้าแจ่มใสยกแก่การพิจารณาว่าแค่ไหนแจ่มใส และปัญหาหลังเกี่ยวกับเครื่องมือที่ใช้ในการบันทึกช่วงโง่ที่แสงacco จึงได้มีผู้พัฒนาสมการที่ให้ใช้ได้ดีกว่าโดย J.K. Page และคณะ (ค.ศ. 1964) "ได้ขยายสมการดังกล่าวให้ขึ้นอยู่กับการแผ่รังสีอกบบริยักษ์โลกบนผิวในแนวระดับ ตามสมการ

$$H_{av} = H_0 \left(a + b \frac{N_{av}}{N} \right) \quad (1.16)$$

โดยที่ H_0 = ปริมาณรังสีที่แผ่เหนือบริยักษ์โลกหรือปริมาณที่คิดว่าไม่ได้ผ่านบริยักษ์โลกที่ต่ำเท่าลงติดกุญแจต่าง ๆ เป็นค่าเฉลี่ยในช่วงเวลาที่โจทย์ต้องการ ส่วนค่า a, b เป็นค่าคงที่ขึ้นอยู่กับสถานที่

G.O.S. Lof และคณะ (ค.ศ. 1966) "ได้หาค่า a, b ขึ้นมาได้ค่าแตกต่างกันไปแต่ละสถานที่และภูมิอากาศในส่วนต่าง ๆ ของโลก ไม่ได้ทำไว้สำหรับประเทศไทยแต่ก็มีค่าที่ทำไว้สำหรับเมืองปูนนา (Poona) ประเทศไทยเดียว ซึ่งมีภูมิประเทศใกล้เคียงกับประเทศไทยของเราคือมีภูมิประเทศเป็นป่าเขตร้อน มีลมมรสุมพาฝนพัดผ่าน อากาศแห้งช่วงสั้น ๆ โดยให้ค่า $a = .30, b = .51$ ส่วนค่า N_{av}, N หาตามเดิม แต่สำหรับค่า H_0 หาได้จากการไฟในรูปที่ 1-19 หรือสมการ (จาก Duffie และ Beckman, ค.ศ. 1974) ต่อไปนี้



รูปที่ 1-19 ปริมาณรังสีที่ตกบนแผ่นรับในแนวระดับเฉลี่ยแต่ละวันของเดือนต่าง ๆ เมื่อพิจารณา
ว่าไม่ผ่านบรรยากาศโลกที่ละเอียดคิดต่าง ๆ

$$H_0 = (24I_{sc}/\pi)[(1+0.033 \cos(360n/365)) \\ [\cos \theta \cos \delta \sin \omega_s + (2\pi\omega_s/360)\sin \theta \sin \delta]] \quad (1.17)$$

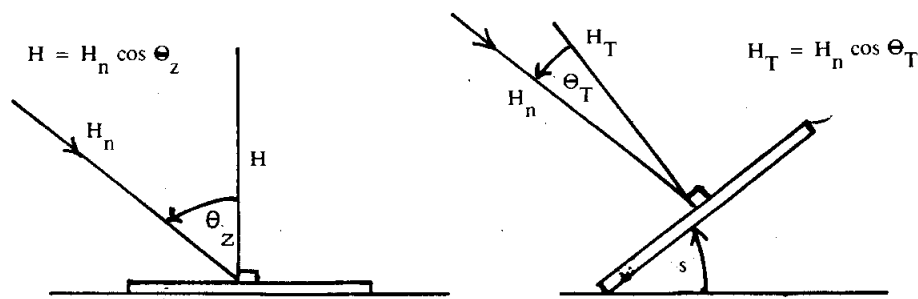
โดยที่ I_{sc} = ค่าคงที่ของดวงอาทิตย์ (ต่อชั่วโมง)
 n = วันของปี, ω_s = มุมชั่วโมงที่ดวงอาทิตย์ขึ้น, ค่าอื่น ๆ เมื่ออนที่เคยกล่าวมาแล้ว

สำหรับการประมาณค่าการแพร่งรังสีในประเทศไทยมีผู้ทำไว้ เช่น R.H.B. Esell ที่สถาบันเทคโนโลยีแห่งเอเชีย (AIT) ค.ศ. 1976 นอกจากวิธีการประมาณค่าการแพร่งรังสีแบบที่กล่าวมาข้างต้นนี้แล้วยังมีการประมาณค่าการแพร่งรังสีในแต่ละชั่วโมงจากข้อมูลที่ได้ในแต่ละวัน ผู้ที่มีบทบาทสำคัญในเรื่องนี้คือ B.Y.H. Liu และ R.C. Jordan ได้บอกวิธีการหาค่าดังกล่าวเพื่อนำไปใช้ในการออกแบบและการคำนวณต่าง ๆ แก่ระบบพลังงานที่ใช้แสงอาทิตย์

1.4 อัตราส่วนของการแผ่รังสีแบบล้ำแสงที่ตกบนผิวบันทึกที่อุ่นต่อที่ตกบนผิวบันทึกในแนวระดับ

(Ratio of beam radiation on tilted surface to that on horizontal surface)

ในการออกแบบอุปกรณ์ทางระบบความร้อนมักจะมีการนำเอาปริมาณรังสีที่ตกบนแผ่นรับในแนวระดับมาแปลงใช้กับแผ่นอุ่นรับแสง พิจารณากราฟที่ 1-20



รูปที่ 1-20 การแผ่รังสีที่ตกบนผิวบันทึกในแนวระดับและผิวบันทึกอุ่น

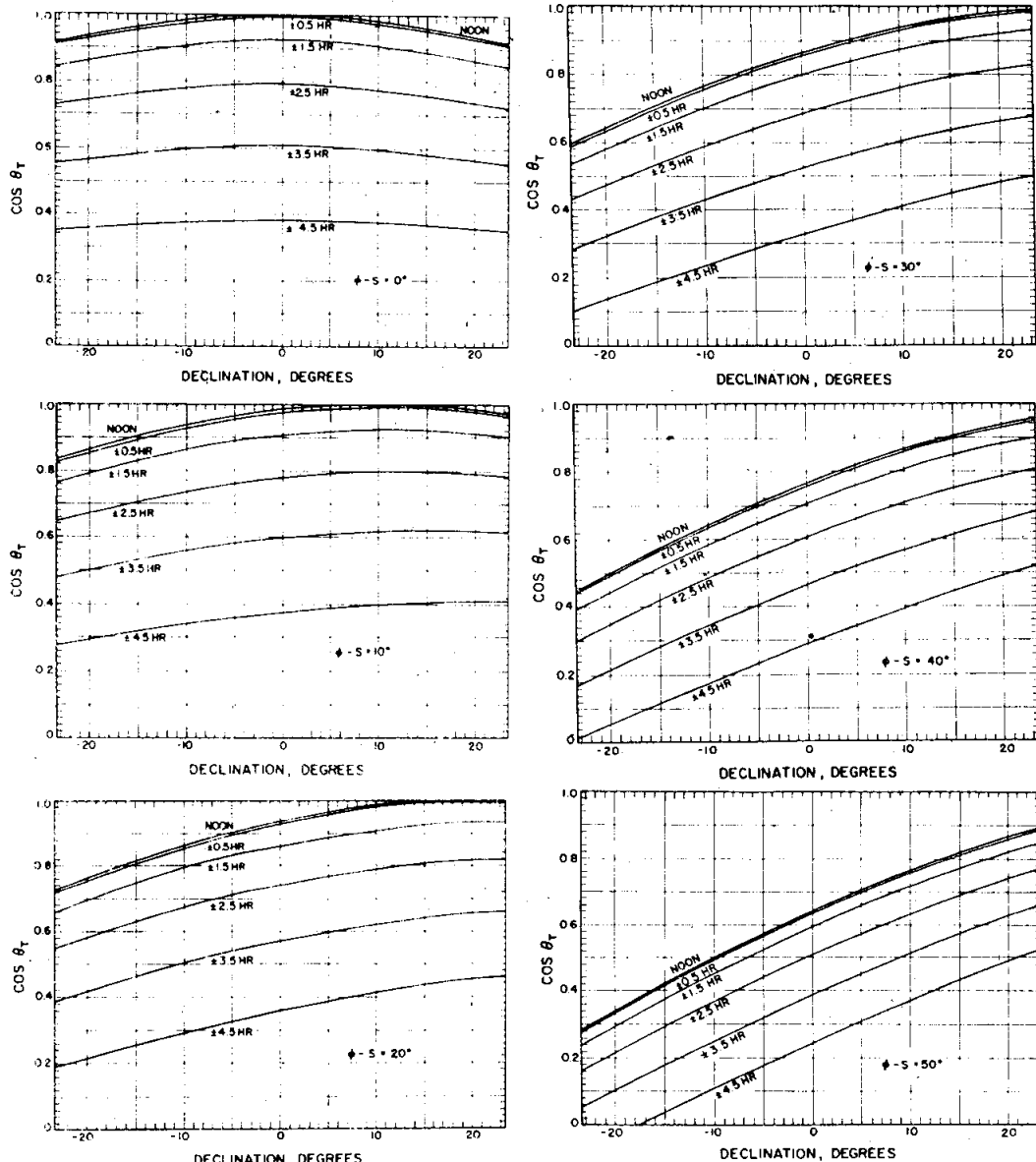
ในที่นี้ H คือปริมาณรังสีในส่วนที่เป็นล้ำแสง เราจะได้อัตราส่วนของการแผ่รังสีบนผิวอุ่น H_T ต่อการแผ่รังสีบนผิวระดับ H มีค่า

$$R_b = \frac{H_T}{H} = \frac{H_n \cos \theta_T}{H_n \cos \theta_z} = \frac{\cos \theta_T}{\cos \theta_z} \quad (1.18)$$

ถ้าแผ่นอุ่นตั้งกางล่างหน้าไปทางทิศเหนือหรือใต้ (ไปทางอีเคเตอร์) เรา ก็ใช้ค่า $\cos \theta_z$ จากสมการ (1.10) และ $\cos \theta_T$ จากสมการ (1.11) จะได้

$$R_b = \frac{\cos \theta_T}{\cos \theta_z} = \frac{\cos(\phi-s)\cos \delta \cos \omega + \sin(\phi-s)\sin \delta}{\cos \phi \cos \delta \cos \omega + \sin \phi \sin \delta} \quad (1.19)$$

สมการ (1.19) อาจใช้คำนวณโดยตรงหรือเพื่อความสะดวกอาจใช้กราฟแสดงความสัมพันธ์ของค่าเหล่านี้ได้ (จาก H.C. Hottel และ B.B. Woertz ค.ศ. 1942) ตามรูปที่ 1-21 แสดงค่าโคไซน์ของมุมตักษะทุกๆ 15 นาที สำหรับ $\phi = 5^\circ$ ไปทางอีเคเตอร์ซึ่งเป็นพังค์



รูปที่ 1-21 ค่าโคไซน์ของมุมตักษะทุกๆ 15 นาที สำหรับ $\phi = 5^\circ$ ไปทางอีเคเตอร์ที่

$$\delta, \omega \text{ และ } (\phi - s) \text{ ต่างๆ}$$

ชั้นของเดคลินชัน δ ที่ข้ามจากเที่ยง ϕ และ $(\phi - s)$ จาก 0 ถึง 50° ส่วนค่า $\cos \theta_z$ ก็หาได้จากกราฟเหล่านี้โดยใช้ค่า $(\phi - s)$ มีค่าเท่ากับละดิจูดในคำถาน จากนั้นเราก็หาค่า R_b ได้ กรณี $(\phi - s)$ มีค่าลบก็ได้จากการพังกล่าวนี้เพียงแต่ใช้เครื่องหมายของ δ กลับกัน

ดังนั้น ในการพิจารณานำสมการ (1.19) มาใช้คือการพยายามที่จะให้ได้ค่า $\cos \theta_T$ มีค่าสูงสุดในช่วงที่ต้องการใช้พังงานแสงอาทิตย์ เพื่อให้ได้ประโยชน์สูงสุดจากระบบ พลังงานจากแสงอาทิตย์นั้น ๆ

ตัวอย่างที่ 1.5

สมมุติว่าเรารอญี่ที่ตำแหน่งละดิจูด $10^\circ N$ มีแผ่นรับแสงเอียง 10° ไปทางอีเคเตอร์ ให้หาค่า R_b เมื่อเวลา 9.30 น. ของวันที่ 20 กุมภาพันธ์

วิธีทำ

จากรูปที่ 1-18 เราจะได้ค่าเดคลินชัน, $\delta = -12^\circ$ ส่วนเวลา 9:30 น. จะได้ $\phi = 37.5^\circ$ และเมื่อ $(\phi - s) = 0$ จะได้ค่า $\cos \theta_T$ จากรูปที่ 1-21a มีค่า .77 และเมื่อ $\phi = 10^\circ$ จะได้ $\cos \theta_z$ จากรูปที่ 1-21b มีค่า .73 ดังนั้นจะได้ค่าโดยประมาณ

$$R_b = \frac{\cos \theta_T}{\cos \theta_z} = \frac{.77}{.73} = 1.05$$

หรือใช้สมการ (1.19) จะได้

$$\begin{aligned} R_b &= \frac{\cos 0^\circ \cos(-12^\circ) \cos 37.5^\circ + \sin 0^\circ \sin(-12^\circ)}{\cos 10^\circ \cos(-12^\circ) \cos 37.5^\circ + \sin 10^\circ \sin(-12^\circ)} \\ &= \frac{0.776}{0.7642 + (-0.0361)} = 1.06 \end{aligned}$$

1.5 อัตราส่วนของการแผ่รังสีทั้งหมดที่ตกบนผิวอุ่นต่อที่ตกบนผิวระดับ (Ratio of total radiation on a tilted surface to that on a horizontal surface)

แผ่นรับแสงอาทิตย์จะรับแสงอาทิตย์ทั้งแบบล้ำแสงและแบบแพร์กระจาย ดังนั้นในการนำเอาค่าปริมาณรังสีทั้งหมดในแนวระดับมาใช้ เราจะต้องพิจารณาหาค่าอัตราส่วนแสดงความสัมพันธ์อันหนึ่งขึ้นมาคือ R ให้แทนอัตราส่วนของปริมาณรังสีทั้งหมดที่ตกบนแผ่นอุ่นต่อแผ่นระดับ แต่ในการหาเมื่อบัญหาอยู่ว่ารังสีแบบแพร์กระจายซึ่งการจัดกระจายไม่สม่ำเสมอในท้องฟ้า หากค่าแก้เชิงมุมไม่ได้เพราะการจัดกระจายดังกล่าวขึ้นอยู่กับส่วนประกอบของบรรยากาศซึ่งมีมากมายและไม่เป็นระเบียบ นอกจากนี้ยังมีปริมาณรังสีบางส่วนที่สะท้อนมาจากพื้นดิน ดังนั้นเพื่อความสะดวกจึงพิจารณาตามข้อสมมุติขึ้นมา 2 ข้อสำคัญคือ

1. สมมุติว่าการแผ่รังสีแบบแพร์กระจายในวันที่ท้องฟ้าแจ่มใสเมื่อวันก่อนจะทำให้ $R = R_b$ กับดวงอาทิตย์ ซึ่งจะทำให้การกระจายของแสงไปข้างหน้าเป็นส่วนใหญ่จึงได้ตัวร่วมค่าแก้เชิงมุมเป็นเหมือนกับของกรณีการแผ่รังสีแบบล้ำแสงทั้งหมดนั้นคือจะได้ $R = R_b$ ตัวอย่าง การประมาณค่านี้ดูได้จากตัวอย่างที่ 1.5

2. สำหรับวันใดที่มีเมฆกระจายค่อนข้างสม่ำเสมอหรือวันที่มีหมอกปกคลุมมาก ๆ ก็ให้ถือว่ารังสีแบบแพร์กระจายมีค่าสม่ำเสมอในท้องฟ้า ดังนั้น ปริมาณรังสีบนแผ่นรับขึ้นอยู่กับการวางแผนตัวให้เห็นท้องฟ้ามากน้อยแค่ไหน โดยถือว่าท้องฟ้าเป็นแหล่งกำเนิดการแผ่รังสีแบบแพร์กระจายอย่างสม่ำเสมอ เราจะสมมุติอีกไปว่าถ้าบริเวณโดยรอบรวมทั้งพื้นดินรอบ ๆ แผ่นรับแสงอาทิตย์ มีคุณสมบัติสังท้อนแสงคล้าย ๆ กันเป็นแหล่งกำเนิดการแผ่รังสีแบบกระจายเหมือนท้องฟ้าแล้ว แผ่นรับแสงอาทิตย์จะรับปริมาณรังสีแบบแพร์กระจายมีค่าเท่ากันหมด ไม่ขึ้นกับการเอียงตัวของแผ่นรับแสง ภายใต้ข้อสมมุตินี้ค่าตัวร่วมการแก้ไขเปล่งค่าการแผ่รังสีแบบแพร์กระจายมีค่าเป็น 1 เสมอ ดังนั้นปริมาณการแผ่รังสีทั้งหมดบนผิวอุ่นจึงมีค่า

$$H_t = H_b R_b + H_d \quad (1.20)$$

โดยที่ H_T และ H_d คือส่วนของการแผ่รังสีจากดวงอาทิตย์บนผิวระดับแบบจำแสงและแบบ
แพร์กระจายตามระดับ, R_b คือตัวรวมค่าแก้รังสีแบบจำแสงจากการ (1.19) ดังนั้นอัตรา²
ส่วนที่จะนำเอาไปใช้ได้ของปริมาณรังสีบนผิวอุ่นต่อผิวระดับมีค่า

$$R = \frac{H_T}{H} = \frac{H_b}{H} \cdot R_b + \frac{H_d}{H} \quad (1.21)$$

ตัวอย่างที่ 1.6

จากตัวอย่างที่ 1.5 ถ้าให้ 0.8 ของปริมาณการแผ่รังสีทั้งหมดเป็นการแผ่รังสีแบบ
จำแสง และ 0.2 เป็นแบบแพร์กระจาย (หมายถึงห้องพ้าค่อนข้างสดใส) ให้ประมาณค่า R
โดยให้สมมุติว่าการแผ่รังสีแบบแพร์กระจายมีค่าスマ่เสมอห้องพ้าและจากพื้นดิน

วิธีทำ

จากสมการ (1.21) และใช้ค่า R_b จากตัวอย่างที่ 1.5 เราจะได้

$$R = 0.8 (1.06) + 0.2 = 1.05$$

ได้มีการปรับปรุงสมการ (1.21) โดย Liu และ Jordan (ค.ศ. 1963) โดยการพิจารณาว่า
การแผ่รังสีที่ตกบนแผ่นรับแสงอุ่นเกิดจากส่วน

1. การแผ่รังสีแบบจำแสง
2. การแผ่รังสีแบบแพร์กระสาย
3. การแผ่รังสีที่เกิดจากการสะท้อนจากพื้นดิน ซึ่งขึ้นกับว่าแผ่นอุ่นมองเห็นมาก
น้อยแค่ไหน

แผ่นเอียงที่ทำมุม s กับพื้นระดับจะเห็นโดยท้องฟ้าตามสัดส่วน $(1 + \cos s)/2$ เมื่อพิจารณา ว่ารังสีแบบแพร์ราเจีย มีค่าสมำเสมอเท่าโดยท้องฟ้า ค่านี้เหลือคือค่าตัวร่วมการแบ่ง สำหรับรังสีแบบแพร์ราเจีย ส่วนข้อที่สามพิจารณาว่าแผ่นรับแสงยังอ้างรับแสงจากพื้นดิน หรือสิ่งแวดล้อมด้วยและถ้าสิ่งแวดล้อมเหล่านั้นมีค่า reflectance ρ สำหรับแสงอาทิตย์ ดังนั้น ค่าการแผ่รังสีที่เกิดจากการสะท้อนของรังสีดวงอาทิตย์ทั้งหมดจากสิ่งแวดล้อมทั้งหมดแผ่นรับ แสงมีค่า $(H_b + H_d)(1 - \cos s)\rho/2$ ดังนั้นมีอัตราการแผ่รังสีที่เกิดจากทั้ง 3 ส่วนจะได้ ปริมาณ การแผ่รังสีทั้งหมดที่ทั้งหมดแผ่นรับแสงอ้างรับแสงเมื่อเวลาใด ๆ มีค่า

$$H_T = H_b R_b + H_d \frac{(1 + \cos s)}{2} + (H_b + H_d) \frac{(1 - \cos s)\rho}{2} \quad (1.22)$$

และจากนิยามของ R จะได้

$$R = (H_b R_b / H) + (H_d / H) \frac{(1 + \cos s)}{2} + \frac{(1 - \cos s)\rho}{2} \quad (1.23)$$

Liu และ Jordan ได้นำเสนอว่าสำหรับพื้นดินที่ไม่มีหินปูกลุ่มให้ใช้ค่า reflectance เท่ากับ 0.2 และถ้ามีหินปูกลุ่มให้ใช้ 0.7

แบบฝึกหัด

1. จากเส้นผ่าศูนย์กลางและอุณหภูมิที่ผิวของดวงอาทิตย์ในบทที่ 1 นี้ ให้ประมาณค่าอัตราการปลดปล่อยพลังงานออกมา และโลกได้รับพลังงานดังกล่าวมากน้อยแค่ไหน
2. ให้คำนวนหาสัดส่วนของปริมาณการแผ่รังสีอกบารยากาศโลก ในช่วงความยาวคลื่นต่ำกว่า $0.3 \mu\text{m}$ และมากกว่า $3.0 \mu\text{m}$ ต่อปริมาณการแผ่รังสีทั้งหมด และให้หาระหว่างความยาวคลื่น $0.3 \mu\text{m}$ ถึง $3.0 \mu\text{m}$ ด้วย
3. ให้คำนวนหามุนขของการตกลงทบทวนจำแสงบนแผ่นรับแสงที่กรุงเทพมหานคร เวลา 11:30 น. ของวันที่ 31 ธันวาคม เมื่อแผ่นรับแสงวางตัว
 - 3.1 ในแนวระดับ
 - 3.2 เอียงไปทางทิศใต้ 10 องศา
 - 3.3 เอียงไปทางทิศใต้ 15 องศา
 - 3.4 เอียงไปทางทิศใต้ 90 องศา
4. ให้คำนวนหามุนข์โมงที่ดวงอาทิตย์ขึ้น ที่กรุงเทพมหานคร และช่วงเวลา각กลางวันของวันที่ 31 ธันวาคม และ 1 สิงหาคม
5. ให้ประมาณว่าถ้าเวลาสุริยะที่กรุงเทพมหานครเป็นเวลา 12:00 น. ในวันที่ 1 ของแต่ละเดือนแล้วเวลาตามมาตรฐานท้องถิ่นในวันที่ 1 แต่ละเดือนจะเป็นเวลาเท่าใด
6. ให้คำนวนหาอัตราส่วนของปริมาณรังสีแบบจำแสงที่ตกบนผิวเอียง 15° ไปทางทิศใต้ ต่อปริมาณรังสีแบบจำแสงที่ตกบนผิวระดับ เมื่อทั้งสองผิวรับแสงอยู่ที่ตำแหน่งเดียวกัน (ที่กรุงเทพมหานคร) ให้ใช้สมการ (1.19) และรูปที่ 1-21